

เนื้อเรื่อง

การทบทวนวรรณกรรม (reviewed literature) / สารสนเทศ (information) ที่เกี่ยวข้อง

ก. ไคติน (chitin) และเอนไซม์ไคติเนส (chitinase)

ไคติน (chitin)

ไคตินเป็นส่วนประกอบหลักของโครงสร้างของสัตว์จำพวก แมลง กุ้ง หอย และรา มีการประมาณว่าไคตินเป็นชีวโพลิเมอร์ที่มีจำนวนมากเป็นอันดับสองในโลกรองจากเซลลูโลส ดังนั้นไคตินจึงได้รับความสนใจในแง่ที่จะนำมาใช้เป็นแหล่งวัตถุดิบในการผลิตสารสำคัญทางการแพทย์ สารอาหารชนิดต่างๆ และเครื่องสำอาง (4)

เอนไซม์ไคติเนส (chitinase)

เอนไซม์ไคติเนส (EC.3.2.1.14) เป็นกลุ่มของเอนไซม์ทำหน้าที่เร่งปฏิกิริยาการย่อยสลายไคตินซึ่งเป็นชีวโพลิเมอร์ที่ประกอบด้วยน้ำตาลชนิด *N*-acetylglucosamine (GlcNAc) ซึ่งเชื่อมต่อกันอยู่ด้วยพันธะ β -1,4 glycosidic โดยเอนไซม์นี้มีคุณสมบัติในการสลายพันธะ β -1,4 glycosidic และแบ่งชนิดของเอนไซม์ตามลักษณะการสลายพันธะเป็น 2 กลุ่ม คือ

- 1) Endochitinase หรือ chitinase (EC 3.2.1.14) ซึ่งสลายพันธะ β -1,4 glycosidic ภายในโครงสร้าง ไคตินอย่างสุ่มได้เป็นมัลติเมอร์ของ *N*-acetylglucosamine เช่น chitotetraose, chitotriose และ chitobiose
- 2) Exochitinase ซึ่งแบ่งออกเป็น 2 กลุ่ม คือ Chitobiosidases (EC 3.2.1.29) ซึ่งสลายพันธะ β -1,4 glycosidic ด้านปลาย non-reducing เข้าทีละครั้งได้เป็น chitobiose และ *N*-acetylglucosaminidase (EC 3.2.1.30) ซึ่งสลาย *N*-acetylglucosamine ออกจากปลาย non-reducing เข้าทีละครั้งได้เป็นโมโนเมอร์ของ *N*-acetylglucosamine

ข. แหล่งที่พบเอนไซม์ไคติเนส

เอนไซม์ไคติเนส เป็นเอนไซม์ที่พบได้ในสิ่งมีชีวิตหลายชนิดตั้งแต่เชื้อแบคทีเรีย เชื้อรา พืช สัตว์ไม่มีกระดูกสันหลัง ชนิดต่างๆ โดยส่วนมากเป็นจุลชีพที่พบตามท้องทะเล เช่น *Vibrio* sp. *Alteromonas* sp. *Pseudoalteromonas* sp. *Aeromonas hydrophila* *Aeromonas caviae* *Serratia marcescens*. เป็นต้น ซึ่งถือว่าเป็นแหล่งของเอนไซม์ที่ดีในการย่อยสลายไคตินที่พบในส่วนของโครงสร้างแข็งภายนอกของสัตว์ทะเล (7) นอกจากนี้เชื้อในสายพันธุ์ *Bacillus* sp. สามารถผลิตเอนไซม์ไคติเนส เช่น *B. circulans* WL-12 ที่สามารถผลิตเอนไซม์ไคติเนสถึง 3 ชนิด คือ chitinase A1, D และ C (9) เอนไซม์ไคติเนสจาก *B. cereus* ซึ่งมีน้ำหนักโมเลกุล 36 kDa และสามารถสลายไคตินได้ดีที่สุด ที่ pH 5.8 และอุณหภูมิที่เหมาะสมที่ 35°C (10) Change และคณะ (11) พบว่าแบคทีเรีย *B. cereus* สามารถผลิตเอนไซม์ไคติเนสที่มีน้ำหนักโมเลกุล 48 kDa ได้ ซึ่งเอนไซม์ตัวนี้สามารถยับยั้งการเจริญของเชื้อรา *Fusarium oxysporum* และ *Pythium ultimum* ได้ นอกจากนี้แบคทีเรียในกลุ่มจีส *Bacillus* สามารถผลิตเอนไซม์ไคติเนส ที่สามารถทนอุณหภูมิสูงได้ (3, 5) ดังนั้นในโครงการวิจัยนี้จะใช้ แบคทีเรีย *Bacillus* sp. เป็นแหล่งในการคัดหาเอนไซม์ไคติเนส ซึ่งจะได้นำมาใช้เป็นตัวตั้งต้นในการปรับปรุงเอนไซม์ให้มีประสิทธิภาพเหมาะสมในการย่อยสลายกากอาหารที่มีไคตินสูงที่ได้จากโรงงานแปรรูปอาหารทะเล ประเภท กุ้ง ปู และสัตว์ที่มีเปลือกหุ้มอื่น รวมทั้งหาคุณสมบัติในการยับยั้งการเจริญเติบโตของเชื้อราด้วย

ค. คุณสมบัติทางกายภาพและเคมีของเอนไซม์ไคติเนส

เอนไซม์ไคติเนส มีคุณสมบัติทางกายภาพและเคมีที่แตกต่างกันอย่างกว้างขวางและหลากหลาย ขึ้นกับสภาวะแวดล้อมของชนิดของสิ่งมีชีวิตนั้นๆ จากรายงานพบว่าค่าความเป็นกรดต่าง (pH) ที่เหมาะสมต่อการทำงานของเอนไซม์ในแบคทีเรียแปรเปลี่ยนได้ในช่วง pH 2-10 ส่วนอุณหภูมิที่เหมาะสมต่อการทำงานอยู่ในช่วงตั้งแต่ 30-70 °C โดยขึ้นกับสายพันธุ์และแหล่งที่พบ (7) ผลการศึกษาโครงสร้างของเอนไซม์ไคติเนส ในแบคทีเรียพบว่า family 18

chitinase A จะมี 3 โดเมนหลัก คือโดเมนที่ 1 N-terminal chitin-binding domain ที่มีหน้าที่จับกับสารเข้าทำปฏิกิริยา โดเมนที่ 2 คือ $(\alpha/\beta)_8$ -barrel domain โดเมนที่ 3 คือ small insertion domain ส่วน chitinase C จะประกอบด้วย โดเมนที่ 1 Catalytic domain โดเมนที่ 2 เป็น fibronectin type III like domain และโดเมนที่ 3 เป็น chitin-binding domain ส่วน chitinase B และ D จะมี domain structure ต่างออกไปอีก ส่วนเอนไซม์ไคตินเนสจากพืชจะเป็น family 19 chitinase ซึ่งมี domain structure เป็นแบบอื่น chitinase I, II, III, ... ที่ไม่เหมือนกัน และน้ำหนักโมเลกุลของเอนไซม์แปรเปลี่ยนได้ ตั้งแต่ 15-95 kDa ข้อมูลโดยละเอียดของคุณสมบัติของเอนไซม์ไคตินเนส สามารถศึกษาเพิ่มเติมจากรายงานที่ตีพิมพ์ไว้ เป็นจำนวนมาก (12)

ง. การนำเอนไซม์ไคตินเนสไปใช้ประโยชน์

ง.1 การใช้เอนไซม์ไคตินเนสเป็นสารชีวภาพในการกำจัดเชื้อรา

แบคทีเรียที่พบในดินสามารถผลิตเอนไซม์ไคตินเนส ซึ่งทำหน้าที่ยับยั้งการเจริญของเชื้อรา เช่น *Nocardopsis prasina* OPC-131 (13) นอกจากนี้ได้มีการนำเอนไซม์ไคตินเนสจากต้นข้าวโคลนเข้าไปในดินแดงกวา ซึ่งดินแดงกวาที่ถูกตัดแปลงพันธุกรรมสามารถต้านทานต่อเชื้อรา *Botrytis cinerera* ซึ่งเป็นเชื้อราที่ทำให้เกิดโรคนั้นแดงกวา (6) และยังพบว่าเอนไซม์ไคตินเนสที่สกัดได้จากต้นมันเทศ เมื่อนำไปพ่นบนต้นสตรอเบอรี่ที่มีเชื้อรา *Sphaerotheca humuli* ซึ่งเป็นเชื้อราที่ทำให้เกิดโรคนั้นสตรอเบอรี่ สามารถยับยั้งการเจริญของเชื้อรา *Sphaerotheca humuli* (14) นอกจากนี้เอนไซม์ไคตินเนสจากแบคทีเรีย *Enterobacter agglomerans* IC1270 ซึ่งเมื่อทำการโคลนและนำเข้าสู่ *Escherichia coli* พบว่าแบคทีเรียที่ถูกตัดแปลงพันธุกรรมมีความสามารถในการยับยั้งการเจริญของเชื้อรา *Rhizoctonia solani* ซึ่งเป็นเชื้อราที่ก่อโรคนั้นฝ้าย (15)

ง.2 การใช้เอนไซม์ไคตินเนสเพื่อย่อยกากของเหลือจากอุตสาหกรรมอาหารทะเลให้เป็นโมโนเมอร์ที่มีประโยชน์ทางการแพทย์

เอนไซม์ไคตินเนสสามารถ สลายพันธะ β -1,4 glycosidic ในโมเลกุลของไคตินได้เป็นโอลิโกเมอร์ (chitooligosaccharide) หรือโมโนเมอร์ของ N-acetylglucosamine ซึ่งสามารถนำไปใช้ประโยชน์ด้านการแพทย์ ซึ่งมีรายงานว่าสามารถนำ N-acetylglucosamine ไปใช้ในการรักษาโรคความเสื่อมของข้อ หรือภาวะข้ออักเสบ รวมทั้งการรักษาภาวะที่มีการอักเสบของลำไส้โดยไม่ทราบสาเหตุ นอกจากนี้แล้ว chitohexaose และ chitoheptaose ของ N-acetylglucosamine ยังมี antitumor activity ต่อ Sarcoma 180 Solid tumors ใน Balb/c mice อีกด้วย (16)

บทความปริทรรศน์เรื่อง Chitin Research Revisited

บทความปริทรรศน์นี้ เขียนขึ้นหลังจากที่ผู้วิจัยได้จากการศึกษาค้นคว้าข้อมูลที่เกี่ยวข้องในการทำวิจัยนี้ ทั้งในเชิง กว้าง และเชิงลึก จนทำให้ผู้วิจัยได้องค์ความรู้ใหม่เพิ่มเติมเกี่ยวกับ งานวิจัยต่างๆ เกี่ยวกับไคติน เป็นอย่างดี สามารถเขียนเป็นบทความปริทรรศน์ที่เป็นปัจจุบันสมัย โดยผู้ช่วยเขียนผลงานนี้ คือ Mr. Feisal Khoushab นักศึกษาปริญญาโทชาว อิหร่าน

บทความวิจัยนี้ได้รับการตีพิมพ์ในวารสารวิชาการระดับนานาชาติที่ต้องผ่านการประเมินโดยผู้ทรงคุณวุฒิ มีค่าดัชนีผลกระทบ 3.471 (25 หน้า)

Review

Chitin Research Revisited

Feisal Khoushab and Montarop Yamabhai *

School of Biotechnology, Suranaree University of Technology, Nakhon Ratchasima, 30000, Thailand;
E-Mail: fl.khoushab@gmail.com

* Author to whom correspondence should be addressed; E-Mail: montarop@g.sut.ac.th;
Tel.: +66-44-224152-4; Fax: +66-44-224150.

Received: 2 May 2010; in revised form: 24 May 2010 / Accepted: 8 May 2010 /

Published: 28 June 2010

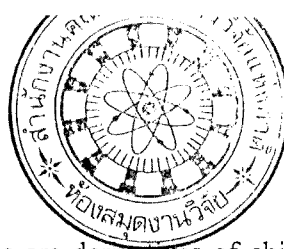
Abstract: Two centuries after the discovery of chitin, it is widely accepted that this biopolymer is an important biomaterial in many aspects. Numerous studies on chitin have focused on its biomedical applications. In this review, various aspects of chitin research including sources, structure, biosynthesis, chitinolytic enzyme, chitin binding protein, genetic engineering approach to produce chitin, chitin and evolution, and a wide range of applications in bio- and nanotechnology will be dealt with.

Keywords: chitin; chitosan; chito-oligosaccharide; application; nanotechnology; biotechnology; nanobiotechnology

1. Introduction

Chitin is one of the most abundant renewable biopolymer on earth that can be obtained as a cheap renewable biopolymer from marine sources [1]. It is biocompatible, biodegradable and bio-absorbable, with antibacterial and wound-healing abilities and low immunogenicity; therefore there have been many reports on its biomedical applications [2]. Accordingly, a very broad range of applications in different fields such as food technology, material science, microbiology, agriculture, wastewater treatment, drug delivery systems, tissue engineering, bionanotechnology have been reported.

Henri Braconnot, a French professor of natural history, discovered chitin in 1811 after the discovery of a “material particularly resistant to usual chemicals” by A. Hachett, an English scientist in 1799, and in 1843 Lassaigne demonstrated the presence of nitrogen in chitin [3]. Henri Braconnot’s name for chitin was fungine. In 1823, Odier found the same material in insects and plants and named it



chitine [4]. Since all chitin-based materials are derivatives of chitin, in this paper the word chitin is used generally to describe both chitin and its derivatives unless otherwise mentioned in the text.

2. Source

Chitin, a poly-beta-1,4-*N*-acetylglucosamine (GlcNAc), is the main component of arthropod exoskeletons, tendons, and the linings of their respiratory, excretory, and digestive systems [5,6]. It is also found in the reflective material (iridophores) both in the epidermis and the eyes of arthropods and cephalopods (phylum: *Mollusca*) [6]. Chitin is also an important component of the cell wall of fungi [7]. Moreover, there is one report - based on lectin binding, endo-chitinase binding and enzymatic degradation studies - that the epidermal cuticle of a vertebrate named *Paralipophrys trigloides* (fish) is chitinous [8]. Therefore, chitin is not only an essential component of invertebrates but may also be present in vertebrates. Unlike cellulose, chitin can be a source of nitrogen as well as carbon (C:N = 8:1) [9].

3. Structure

Chitin contains 6–7% nitrogen and in its deacetylated form, chitosan contains 7–9.5% nitrogen. In chitosan, between 60 to 80% of the acetyl groups available in chitin are removed [10]. There are three forms of chitin: α , β , and γ chitin. The α -form, which is mainly obtained from crab and shrimp shells, is widely distributed. Both α and β chitin/chitosan are commercially available. The α -chitin chains are aligned in anti-parallel fashion. The anti-parallel arrangement in α -chitin gives rise to strong hydrogen bonding and consequently makes it more stable [11]. The β -form mainly obtained from mollusks such as squid, is arranged in parallel, whereas the γ -form contains two parallel and one anti-parallel strands of chitin [12]. Conversion from the β -form to the α -form is possible, but not the reverse [13–15]. γ chitin can be converted to α chitin by treatment with lithium thiocyanate [16].

Chitin is insoluble in water due to its intermolecular hydrogen bonds [17]. But water-soluble chitin-based derivatives such as chitosan or carboxymethyl chitin can be obtained. One of their most important features is the ability (flexibility) to be shaped into different forms such as fibers, hydrogels, beads, sponges, and membranes [18]. The origin of chitin affects its crystallinity, purity, polymer chain arrangement, and dictates its properties [19].

4. Chitin Biosynthesis

Chitin biosynthesis has been studied in a large variety of organisms. The enzyme for this synthesis is called chitin synthase (CS). Three CSs have been found in *Saccharomyces cerevisiae*: CS I, CS II, and CS III. They are different from each other in terms of function and catalytic activity. Most of chitin is synthesized by CS III [20]. Fungal CS are grouped into two families and five classes [21]. There are two CS genes in insects [22,23]. Nematodes possess two chitin synthase genes, which are differentially expressed [24]. Therefore, there seems to be specialization among chitin synthases in different organisms where different enzymes carry out different functions. CSs use UDP-*N*-acetylglucosamine as substrate to produce chitin fibrils [25]. This was proven in an experiment done on *Mucor rouxii* [26]. The genomes of some chloroviruses contain a chitin synthase gene (*cs*). By

สำนักงานคณะกรรมการวิจัยแห่งชาติ
ห้องสมุดราชภัฏ
วันที่..... 17/10/2555
เลขทะเบียน..... 245248
เลขเรียกหนังสือ.....

introducing the gene of chlorovirus CVK2 into *Chlorella* cells, an algae that does not possess a chitin synthase gene, this microorganism could be engineered to produce chitin [27].

Several enzymes, so called DG, have been isolated from the *Xenopus laevis* embryos that are differentially expressed during the gastrulation stage. One of these enzymes is DG42. It is expressed from midblastula to the end of the neuralation stages. DG42 synthesizes a Nod-like chitin oligosaccharide. Nod is the enzyme responsible for producing chito-oligosaccharide in *Rhizobium* [28]. It seems that while this enzyme is expressed during early embryogenesis the amount of hyaluronic acid (HA) increases. It has been suggested that chitin oligosaccharides are present at the reducing ends of HA chains. Thus, it has been proposed that chitin oligosaccharide produced by this enzyme acts as a primer for synthesizing HA. Homologs of DG42 have been found in zebrafish and mice [29,30]. They also synthesize Nod-like chitin oligosaccharide during early embryogenesis. However, it remains controversial whether DGs are chitin synthase or hyaluronan synthase. Since DG42 has been isolated from frogs, zebrafish and most importantly mice, further study is needed to investigate whether or not this enzyme is widespread throughout mammals including humans, and if DGs is shown to synthesize chitin in animal, the role of chito-oligosaccharide in embryonic development should be further investigated.

5. Chitinolytic Enzymes

Chitinases, which hydrolyze chitin, are present in a wide range of organisms including viruses [31], bacteria [32], fungi [33], insects [34], higher plants [35,36], and mammals [37]. Most organisms (bacteria, plants and insects) have large families of chitinases with distinct functions, including digestion, cuticle turnover, and cell differentiation. Based on amino acid sequence similarity they can be grouped into glycosyl hydrolase families (GH) 18 and 19, which are structurally unrelated. The catalytic mechanism of chitinases family 18 involves substrate-assisted catalysis, which retains the anomeric configuration of the product [38]. They are ubiquitous with an (alpha/beta) 8-barrel fold structure in the catalytic domain [39]. Family 19, glycosyl hydrolases, share a homologous catalytic domain. They consist mainly of alpha helices. Their catalytic mechanism is a general acid-base mechanism that inverts the anomeric configuration of the hydrolyzed GlcNAc residue [38]. Family 19 chitinases have mostly been identified in plants [40]. Both GH 18 and 19 chitinases have signal peptides, indicating that the enzymes are secreted and function outside the cells.

Family 18 of glycosyl hydrolases include active chitinases and inactive chitinase-like proteins or chito-lectins, which lack endogenous chitin and have been found widely in mammals [41]. Recent comparative genomic analysis to address the evolutionary history of the GH18 multiprotein family from early eukaryotes to mammals, revealed that the GH18 chitinase involved in an emerging interface of innate and adaptive immunity during early vertebrate history [41]. Chito-lectins are inactive due to lack of some critical residues in their catalytic sites. Several of these chitinase-like proteins have been identified such as oviductin or oviduct-specific glycoprotein [42], YKL-39 [43], HC gp39 and YKL-40 [44–46] in human, YM1 [47], YM2 [48], ECFL [49], breast regression protein 39 (BRP39) [50] in mice, and gp38K [51] in pigs. Their functions are unknown, however, it is speculated that they may be involved in fertilization [52], chemotaxis [49], and tissue remodeling [53]. Besides these inactive chitinases, two active chitinases have been found in humans, these are chitotriosidase [54] and acidic

mammalian chitinase (AMCase) [55]. Chitotriosidase can cut both chitin oligomer and colloidal chitin; its optimum pH is broad, and it is mainly secreted from macrophages [56]. AMCase is active in acidic pH, it is mostly expressed in stomach and lung, its gene has 11 exons and is located on chromosome 1 [57]. Interestingly, Glyco_18-containing proteins are established biomarkers for human diseases, and both human chitinases and chitinase-like proteins have been used as indicators of inflammation and cancer [58].

Bacterial chitinases belong to both family GH18 and 19. Most of their structure-function studies came from the studies of the enzymes from *Serratia marcescens* [59–61], *B. circulans* [62–67], and *Vibrio* spp. [68–70].

Recently, chitinases have gained interest in different biotechnological applications due to their ability to degrade chitin in the fungal cell wall and insect exoskeleton, leading to their use as antimicrobial or insecticidal agents. [71–73]. Another interesting application of chitinase is for bioconversion of chitin, a cheap biomaterial, into pharmacological active products, namely *N*-acetylglucosamine and chito-oligosaccharides [74–76]. Production of chitin derivatives with suitable enzymes is more appropriate for sustaining the environment than using chemical reactions [77]. Other interesting applications include the preparation of protoplasts from filamentous fungi [75], bio-control of insects and mosquitoes as well as the production of single cell protein [75,76]. Thus, there have been many reports on cloning, expression and characterization of chitinases from various organisms, including bacteria, fungi, plant and animals [75,78–80].

6. Chitin Binding Proteins

Kawabata *et al.* identified a molecule, named tachycitin, from hemocytes of a horseshoe crab with chitin binding activity. This is a small molecule that is 73 residues long and possesses five disulfide bonds [81]. A major protein in the chitin-walled cyst of protozoan *Entamoeba histolytica* also contains chitin binding domains. This protein is a lectin named EiJacob1 [82]. In addition, a chitin binding lectin has been isolated from Stinging Nettle Rhizomes [83]. Several genes encoding proteins with chitin binding domains from arthropods have been identified by whole genome sequence analysis [84]. Two proteins with chitin-binding domains have been identified from silkworm, *Bombyx mori* [85]. In addition, it has been shown that *Tribolium castaneum*, red flour beetle, contains genes encoding proteins peritrophin A-type chitin-binding domains [86].

Chitin binding proteins have also been isolated from plants. They belong to the lectin superfamily and are secreted from the plants as a part of their defense system [87]. Most of plant chitin binding proteins have a conserved motif, called havein domain or chitin binding domain [88].

A chitin binding protein with antifungal activity has been isolated and characterized from *Streptomyces tendae* Tü901. This protein binds to the surface of germinated conidia and tips of growing hyphae, changing the growth polarity of the fungi [89]. Other organisms in which chitin binding proteins have been identified include sweet potato hornworm, *Agrius convolvuli* [90], *Amaranthus caudatus* [91], Ginkgo biloba [92], and *Streptomyces reticuli* [93]. There is a conserved motif, known as RR consensus motif in the arthropods cuticular proteins, which along with its extended forms, are considered as chitin binding motifs [84,94,95].

Various chitinolytic microorganisms have been shown to produce non-hydrolytic accessory proteins that increase enzyme efficiency [96], such as the Gram-negative soil bacterium *Serratia marcescens*, which uses three different family 18 chitinases to degrade chitin. It has been reported that a small non-catalytic protein, CBP21, which binds to the insoluble crystalline substrate, leading to structural changes in the substrate and increased substrate accessibility, is required for efficient chitin degradation [97].

7. Genetic Engineering Approach to Produce Chitin

It is difficult to obtain pure carbohydrates, especially chitin, through conventional techniques. Bacterial cells have been engineered in an effort to overcome this problem [98]. *E. coli* has been engineered to produce chitobiose. This method took advantage of NodC, which is a chito-oligosaccharide synthase, and genetically engineered chitinase to make a cell factory with the ability to produce chito-oligosaccharides [99]. Recombinant chito-oligosaccharides have also been obtained using *E. coli* cells which expressed *nodC* or *nodBC* genes [100]. By expressing different combinations of *nod* genes in *E. coli*, *O*-acetylated and sulfated chito-oligosaccharide have been produced [101].

8. Chitin and Evolution

There are several reports indicating that chitin plays a role not only in those organisms in which its role is expected, such as in fungi and crustaceans, but also in other organisms. It has been shown that Rhizobia-mediated nitrogen-fixing nodules possess a signal molecule necessary for the root nodulation process termed lipo-chitin oligosaccharide, which comprises a β -1,4-linked *N*-acetylglucosamine (GlcNAc) tetra- or penta-saccharide [28,102]. *N*-acetylglucosamine has been reported to play a role during development of moulds as well [103].

The presence of intracellular and extracellular GlcNAc-containing compounds, in the forms of *N*-glycans and intracellular glycans, indicates the role of chitin and its derivatives from an evolutionary point of view [104]. Finding a role for chitin derivatives in animals was an important discovery. Semino *et al.* (1997) proved the importance of chitin oligosaccharides in the embryogenesis of zebrafish and carp [105]. GlcNAc containing muscle cell surface molecules have been shown to possess the ability to guide neurites through extracellular matrix [106]. It has been reported that the addition of *O*-linked GlcNAc (*O*-GlcNAc) to the proteins in nucleus and cytoplasm is different from classical *O*-glycosylation of the secretory pathways [107]. This reversible post-translational modification [108] modifies serine and threonine residues [109] and seems to play an important role in apoptosis [110], death signaling of mouse embryonic neuroepithelial cell [111], neurodegenerative disorders [112], signal transduction [113,114], synaptic plasticity [115], transcription and translation [116,117], stability of target proteins [118], proteasomal function [119], cancer [120], diabetes [121], subcellular localization [122], and nuclear transport [123]. *O*-GlcNAc is also important in the cardiovascular [124], and immune systems [125]. Considering the fact mentioned in part 4 about the role of chitin synthase and chitin-oligomer in mice, which is close to human species, and that humans have chitinase genes, it would not be surprising if future studies found one or more roles for chitinous materials in humans at some point in human evolution and/or embryonic development.

9. Applications

9.1. Immunology

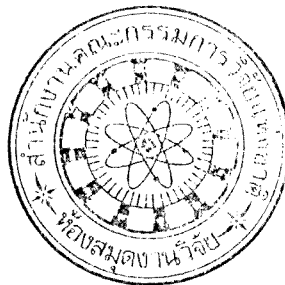
The key property of chitin-derived products for application in various biomedical applications is the immuno-modulating effect [126,127]. Various mechanisms of immuno-enhancement activity of chitin and its derivatives have been reported. For example, chitosan exhibited the ability to boost NO production from macrophages in the presence of interferon- γ (IFN- γ) through the NF- κ B signaling pathway [128]. In addition, Minami *et al.* (1998) found that chitin and chitosan affected C3 and C5 components of complement system and concluded that complement system is activated by chitin and chitosan through the alternative pathway. After activating the complement, C5a is produced followed by an increase in migration of polymorphonucleate (PMN) to the injured tissue. This is a normal inflammatory reaction but in the presence of chitin and chitosan, there are no inflammatory symptoms, such as erythema, temperature elevation and abscess formation [129]. The intensity of complement [129] and macrophage [130] activation of chitin is less than chitosan; therefore, chitin is more biocompatible.

9.2. Hemostasis and Wound Healing

Hemostasis through blood coagulation is an important step for wound healing. The main cellular components in blood coagulation are platelets. It has been shown that chitosan has a hemostatic effect [131]. Okamoto Y. *et al.* reported that chitin is an effective agent for hemostasis maintenance through aggregating platelets, and suggested that the effect of chitin and chitosan is due to both physical and chemical properties of these biopolymers, especially their amino groups [132]. Shelma *et al.* (2008) developed a composite film by using chitosan and chitin. They used chitin nano-fiber to improve the composite's tensile strength and elasticity [133]. Mi *et al.* designed an asymmetric chitosan membrane with the ability to protect skin by preventing bacterial invasion and halting the evaporation of the skin's water, two important factors for dressing wounded skin [134,135]. A chitosan acetate bandage has been shown to have good antibacterial activity when applied to burnt skin contaminated with *P. aeruginosa* [136].

9.3. Scaffold for the Regeneration of Tissue

Chitin and its derivatives have been used as scaffolds for bone and other natural tissue regeneration [137] as well as structures by which three-dimensional formation of tissues are supported [138]. While looking for a good material for a good scaffold, there are at least four important factors that should be taken into account: (1) ability to form temporary matrix, (2) ability to form porous structure for tissue to grow, (3) biodegradability, and finally (4) non-toxic byproducts from the digestion [139,140]. Thus, neither the physical nor biological properties of such biomaterials should be ignored [137]. Chitin and its derivatives have been shown to possess these criteria.



9.4. Neuro-Tubes Guided Nerve Regeneration

Based on the fact that chitin has high mechanical strength under physiological conditions (low for chitosan) chitin has the potential to be a good nerve guidance channel. Ferrier *et al.* used this fact and made chitin tubes that could support nerve cell adhesion and neurite outgrowth [130]. In a research related to nerve regeneration, it was shown that rabbits with the crushed common peroneal nerve exhibit better improvement in peripheral nerve regeneration in the presence of chito-oligosaccharide. As a result, chito-oligosaccharide can be used as neuroprotective material with an ability to improve injured peripheral nerve regeneration [141].

9.5. Blood Cholesterol Control

Chitin and chitosan are among the candidates to battle obesity and hypercholesterolemia. It has been reported that they can reduce the amount of cholesterol in rats [142]. Several mechanisms have been proposed to explain this phenomenon. One is through electrostatic interaction between lipids and aminopolysaccharides [143]. Chitin binds to lipid (cholesterol) micelles and inhibits their absorption. Another proposed mechanism is increasing the excretion of bile acid by which the amount of fecal fat increases [144]. Feeding mice with chitosan showed hypocholesterolemic effects. It seems that the mechanism of chitosan's cholesterol-lowering effect is through suppression of food intake [145]. The hypocholesterolemic effect of chitosan has also been found in humans. When 3–6 g/day of chitosan was given in the diet to eight healthy males, total serum cholesterol significantly decreased, and when the ingestion was stopped, the value increased to the level before ingestion. The proposed cholesterol lowering mechanism of chitosan was that it combines bile acids in the digestive tract, and excretes them into the feces, thus decreasing the resorption of bile acids, so that the cholesterol pool in the body was decreased and the level of serum cholesterol consequently decreased [146].

9.6. Drug Delivery Carriers

It is important for a drug delivery carrier to be efficiently removed after delivering drugs. In other words, it must not accumulate in the body nor must it be toxic [147]. Chitin derivatives such as *N*-succinyl-chitosan [148], carboxymethyl chitin [147], chitosan hydrogel [149], and hydroxyethyl chitin [150] have been shown to possess such characteristics.

Chitosan in the form of colloidal structures can entrap macromolecules by various mechanisms. These associated macromolecules have been shown to transport through mucosa and epithelia more efficiently [151]. Cationic chitosan in combination with other natural polymers has been shown to enhance the drug encapsulation efficiency of liposomes via the layer-by-layer (L-b-L) self-assembly technique [152]. Nanoparticles made of chitosan in association with polyethylene oxide have been used as protein carrier [153]. Moreover, an oral delivery system has been developed by using chitosan and tripolyphosphate. In this system, micro- and nano-particles were entrapped in beads made from chitosan in solution of tripolyphosphate [154].

9.7. Antioxidant

The balance between oxidant formation and antioxidant defense in biological systems is important in order to prevent oxidation of biomolecules. The higher oxidation activity in cells, which leads to a higher potential for cell injury, is the cause of cancer, arthritis, neurodegeneration, and aging [155]. Chitin and its derivatives have been reported to have antioxidant properties [156], hence preventive effects on various diseases.

Chitin that was chemically modified to obtain aminoethyl-chitin, showed antioxidant activity against free radicals such as 1,1-diphenyl-2-picrylhydrazyl (DPPH), hydroxyl, superoxide, and peroxy [157]. In addition, the antioxidant activity of hetero-chitosan has been shown to depend on its deacetylation degree and concentration [158]. It seems that free amino groups play a major role in antioxidant activity of chitinous materials [159]. The proposed mechanism behind this activity is that the free radicals react with NH_2 groups and these groups absorb hydrogen ion from the solution to produce NH_3 groups [160].

9.8. Antimicrobial Activity

Antifungal and antibacterial activities of chitinous products have been demonstrated in several articles. For example, S. Bautista-Baños *et al.* reported the antifungal activity of chitosan against *Colletotrichum gloeosporioides*, which causes anthracnose in papaya [161]. Chitosan has been reported to possess the antibacterial ability against *E. coli* through cross-linking between chitosan (as cation) and anions over the surface of *E. coli* [162]. It has been shown that culture broth of *Bacillus subtilis* grown in the presence of chitin exhibits antifungal activity on pathogenic *Fusarium oxysporum*, indicating that it can be used as a bio-control agent [163]. In addition, chitosan solution has been shown to inhibit the growth of *Xanthomonas* sp., which is pathogenic to *Euphorbia pulcherrima* [164].

The mechanism of antifungal and antimicrobial activity of chitin and its derivatives has yet to be totally uncovered. In fact there are several proposed mechanisms. One of them is the ability of chitin and its derivatives to activate defense mechanisms of the host organisms [165] such as inducing the accumulation of chitinases and other pathogenesis-related proteins [165]. Another one is leakage in the cell wall of bacteria due to the interaction between positively charged chitosan molecules and the negatively charged surface of the bacteria [166].

9.9. Gene Therapy

Being able to deliver a large piece of DNA plays an important role in gene therapy. The carrier must be safe with low immunogenicity. One of the carriers being used—viral vectors—may not be safe enough for targeting cells [167]. Cationic derivatives of chitin are being used to serve this purpose [159]. Galactosylated chitosan has been grafted to dextran to make a liver-specific DNA carrier [168]. Another group has synthesized nanosphere delivery vehicle by salt-induced complex co-precipitation of cDNA and chitosan [169]. Chitosan can condense DNA and forms small discrete particles in particular conditions; hence it has many potential applications for gene delivery [170].

9.10. Food Technology

Chemical preservatives can be replaced with chitin-based ones. The advantages are two-fold. First, chitinous materials are safer, and second, with their antimicrobial activity; they can protect food products against microbial invasion. Chitosan-based films have been developed to serve this purpose [171]. It has also been applied to improve the preservation of vacuum-packaged processed meat and it could delay the growth of *Enterobacteriaceae*, which are indigenous bacteria in the food products [172]. It seems this antibacterial activity is due to the positive charge of C2 amino group in glucosamine, monomer of chitosan. This positive charge interacts with negatively charged microbial cell membrane and leads to leakage of the intracellular constituents of the microorganisms [173].

9.11. Agriculture

Chitin oligosaccharides have been shown to play an important role in defense mechanisms of plants against microbial invasion [174]. They could also promote carrot somatic embryos survival [175]. Chitin fragments can desensitize the perception system of tomato, which can lead to improvement of the defense mechanism in tomato cells [176]. Chitin in the form of lipo-chitin can induce the formation of nodule in soybean root [177]. Rice is another important plant in which chitin fragments have been shown to boost the defense system [178,179].

9.12. Bio-Nanotechnology

Bio-nanotechnology, a marriage between biology and nanotechnology, is an emerging field. Through biomimetic approaches and strategies, many micro/nano-systems can be produced. Chitosan has been used to immobilize and pattern biomolecules on microfabricated surfaces [180]. A photolithographic method has been applied to integrate chitosan to micro- and nano-structures, which is an important step toward the fabrication of bioinspired micro-electromechanical systems [181]. Nanoimprinting lithography was used to micro- and nano-pattern chitosan [182]. This micro/nanopatterning enables researchers to use chitosan for bionanotechnology applications such as nanobiodevices. Chitosan has recently been used in the preparation of graphitic carbon nanocapsules, tungsten carbide and tungsten carbides/graphitic carbon composites [183]. In this system, after preparation of the precursors of chitosan and metal ions, they were carbonized. The system can be regulated by changing the type and/or ratio of the metal [183]. Chitin whiskers have been used to reinforce nanocomposites. It seems this ability mainly depends on chitin whiskers being able to form 3D networks. Any modification by which this network is disrupted results in lowering or loss of this ability [184].

9.13. Capacitor and Electrolyte

Electric double layer capacitors are being used as memory back-up tools and energy storage technology. Electrolytes used in these capacitors should have low internal resistance and high capacitance. There are two type of electrolytes; aqueous and nonaqueous. Aqueous electrolytes have high electrical conductivity [185]. KOH and H₂SO₄, which are being used to make aqueous electrolytes, are strong base and acid, and thus are hazardous and difficult to handle. It is important to

have less toxic or non-toxic aqueous electrolytes that are stable and exhibit good conductivity and low resistance. Yamazaki *et al.* made a gel using a mixture of cellulose, chitin, and H₂SO₄, which has all the mentioned features as well as high charge-discharge ability [186].

9.14. Heavy Metals and Other Pollutants Removal

The wide usage of heavy metals in industry has caused and continues to cause serious and widespread health problems. It is important to remove these metals from the environment. Several studies have reported the ability of chitin and chitosan to perform this task. For instance, absorbing Cu (II) and Cr (VI) [187], Fe [188], and Pb (II) ions in an aqueous environment [189]. Chitin phosphate could absorb uranium in the presence of sodium carbonate solution [187]. Chitosan-based chelating resins have been developed to absorb mercury [190], Ti (IV), V (V), Mo (VI) [191], W (VI), U (VI) [192], Ag in aquatic environment [193], Cd, Ni, V, Ga, Sc, In, and Th [194]. Chitin and chitosan have been shown to have copper removal capability, which could help to obtain more stable diesel oil [195]. They also have been successfully tested for the adsorption of organic pollutants [196].

9.15. Intelligent Materials or Composites

Chitinous materials have been used to create smart or intelligent materials or composites. These systems can respond to environmental changes. They show their functionality with the addition or removal of stimulation. These smart or intelligent materials are ideal in an integrated systems or mixed composite of materials. Shape memory materials are one group of such materials [197]. As is obvious from the name, shape memory materials can remember and regain their original shape after the removal of the stimulus. This phenomenon is due to their being equipped with proper stimulus sensitive molecular switches. Among these shape memory materials, polyurethanes are gaining more attention. This is because of their good shape memory effect at room temperature as well as their low cost. But shape memory polyurethanes cannot bear repeated changes in the shape memory, and retention will decrease by increasing the number of cycles of shape memory; consequently, chitin-based polyurethane shape memory materials have been developed to overcome these problems [198].

9.16. Energy Production: An Emerging Application

Insects are widely distributed on earth, comprising 80% of species [199]. Robots with the ability to hunt and digest insects and obtain energy from them can serve humanity by performing missions in dangerous situations. A robot that contains a microbial fuel cell was created to digest chitin and metabolize it by bacteria. This process produces electrons that act as horsepower of the system [200]. The system can take advantage of the wide distribution of arthropods and mollusks because chitin is available in both phyla. Since *Arthropoda* and *Mollusca* rank first and second in species diversity in all animal phyla [201] and are a major source of chitin, this strategy can be highly applicable in both land and marine environments. Chitin has also been utilized by *Clostridium paraputrificum* M-21 to produce hydrogen gas. This gas is considered to be a potential source of alternative energy [202,203]. The advantage of using chitin in this way is that most chitin sources are waste materials, such as

shrimp shells; therefore, it is non-food material and there is no need to be concerned about pressure on food supplies.

10. Chito-Oligosaccharides and Their Applications

Recent trends in the field of chitin research have focused on oligosaccharides, which are more soluble and have several attractive biological effects. *N*-acetylchitooligosaccharide and chitooligosaccharide (COS) are originated from chitin and chitosan, respectively. Oligomers of chitin and chitosan can be obtained both chemically and enzymatically [126]. Their degree of polymerization (DP) is usually < 20.

It has been shown that chito-oligosaccharide accelerates the wound healing effects of Poly vinyl alcohol (PVA) if it is used in the early stages of the healing process [204]. It could inhibit the growth of *Actinobacillus actinomycetemcomitans*, indicating that it has antimicrobial activity [205]. *N*-acetylchitooligosaccharide causes an increase in biophotons emission from suspension-cultured rice cells. Biophotons are very weak light emitted from biological processes/systems. All organisms, including plants, constantly produce biophotons as part of their vital activities. Photon emissions are elevated by environmental stresses and disease responses induced by pathogen attack. It has been shown that photon emissions from rice cells elicited by *N*-acetylchitohexase are closely associated with the ROS-generating system, and are regulated by Ca²⁺ signaling and protein phosphorylation via phosphatidic acid (PA), an intermediate of phospholipid signaling [206]. Chito-oligosaccharide has shown inhibitory effects on tumor growth and metastasis of lung cancer in mice [207]. *N*-acetylchitohexase (chitin derivative) and chitohexase (chitosan derivative) can also induce production of interleukins 1 and 2 and, consequently, help to improve the function of macrophages, natural killers, cytotoxic T cells, and polymorphonuclear leukocytes, in defense mechanisms. The anti-metastatic activity of acetylchitohexase against Lewis lung carcinoma in mice [208] has been demonstrated. There are many reports indicating antitumor activity of chito-oligosaccharides [209]. It has been shown that oligosaccharides that contain *N*-acetylglucosamine play an important role in the interaction between HIV and T-helper during pathogenesis of this virus [210]. *N*-acetylchitooligosaccharide was used as analogue to study lysozyme [211]. Thus, these materials can be used to study protein-carbohydrate interaction and associated enzymatic activities.

11. Conclusion and Future Perspectives

After two centuries of research on chitin, this biopolymer now has applications in numerous fields, as described in many review articles [140,212–216]. However, there is still room for further chitin research. Chitin is a potential energy source as well as gene and drug delivery carrier, and in the emerging field of nanobiotechnology. The evolutionary effects of chitin is emerging, but is not yet fully discovered. To take advantage of the mechanical characteristics of chitin, it should be used directly and without chemical modification. To achieve this goal, more research, especially on fundamental aspects, needs to be done.

Much attention has being paid to chitinase research [75], but its substrate seems to have been neglected or, at least, underestimated. If we are going to use the huge amount of chitin produced annually in nature, chitin research needs an increase in funding to develop equipment to harvest chitin

from its diverse sources, improve the purity of obtained chitin, and produce novel materials with new applications from this environmentally friendly biopolymer.

Despite the multiple potential applications of chitin, we believe that the most promising in the future are (i) applications in nanobiotechnology, which involves drug and gene delivery and scaffold for tissue engineering, and (ii) applications of chito-oligosaccharides in medicine and agriculture.

Acknowledgements

FK and MY are supported by Suranaree University of Technology (SUT) and International Foundation for Sciences (IFS). We would like to thank Kenneth J. Haller for his critical reading of the manuscript and Julian David Pieniazek for proofreading. Moreover, we highly appreciate the comments and suggestions from the referees, who critically reviewed this manuscript.

References

1. Muzzarelli, R.A.A. *Chitin*; Pergamon Press: Oxford, UK, 1977.
2. Jollès, P.; Muzzarelli, R.A.A. *Chitin and Chitinases*; Birkhäuser Verlag: Basel, Switzerland, 1999.
3. Jeuniaux, C. A brief survey of the early contribution of European scientists to chitin knowledge. In *Advances in Chitin Sciences*; Domard, A., Jeuniaux, C., Muzzarelli, R.A.A., Roberts, G., Eds.; Jacques André Publ.: Lyon, France, 1996; pp. 1–9.
4. Muzzarelli, R.A.A.; Muzzarelli, C. Chitin and chitosan hydrogels. In *Handbook of Hydrocolloids*; Phillips, G.O., Williams, P.A., Eds.; Woodhead Publishing Ltd: Cambridge, UK, 2009; pp. 849–888.
5. Clark, G.L.; Smith, A.F. X-Ray diffraction studies of chitin, chitosan, and derivatives. *J. Phys. Chem.* **1936**, *40*, 863–879.
6. Herring, P.J. Marine Ecology and natural products. *Pure Appl. Chem.* **1979**, *51*, 1901–1911.
7. Blumenthal, H.J.; Roseman, S. Quantitative estimation of chitin in fungi. *J. Bacteriol.* **1957**, *74*, 222–224.
8. Wagner, G.P.; Lo, J.; Laine, R.; Almeder, M. Chitin in the epidermal cuticle of a vertebrate (Paralipophrys trigloides, Blenniidae, Teleostei). *Cell. Mol. Life Sci.* **1993**, *49*, 317–319.
9. Struszczyk, M.H. Global requirements for medical applications of chitin and its derivatives. In *Polish Chitin Society, Monograph XI*; Polish Chitin Society: Łódź, Poland, 2006; pp. 95–102.
10. Mathur, N.K.; Narang, C.K. Chitin and chitosan, versatile polysaccharides from marine animals. *J. Chem. Educ.* **1990**, *67*, 938.
11. Sikorski, P.; Hori, R.; Wada, M. Revisit of alpha-chitin crystal structure using high resolution X-ray diffraction data. *Biomacromolecules* **2009**, *10*, 1100–1105.
12. Atkins, E. Conformations in polysaccharides and complex carbohydrates. *J. Biosci.* **1985**, *8*, 375–387.
13. Lavall, R.L.; Assis, O.B.G.; Campana-Filho, S.P. [beta]-Chitin from the pens of *Loligo* sp.: Extraction and characterization. *Bioresour. Technol.* **2007**, *98*, 2465–2472.
14. Mazeau, K.; Winter, W.T.; Chanzy, H. Molecular and crystal structure of a high-temperature polymorph of chitosan from electron diffraction data. *Macromolecules* **2002**, *27*, 7606–7612.

15. Schiffman, J.D.; Schauer, C.L. Solid state characterization of [alpha]-chitin from *Vanessa cardui* Linnaeus wings. *Mater. Sci. Eng. C* **2009**, *29*, 1370–1374.
16. Rudall, K.M.; Kenchington, W. The Chitin System. *Biol. Rev.* **1973**, *48*, 597–633.
17. Minke, R.; Blackwell, J. The structure of [alpha]-chitin. *J. Mol. Biol.* **1978**, *120*, 167–181.
18. Mano, J.F.; Silva, G.A.; Azevedo, H.S.; Malafaya, P.B.; Sousa, R.A.; Silva, S.S.; Boesel, L.F.; Oliveira, J.M.; Santos, T.C.; Marques, A.P.; Neves, N.M.; Reis, R.L. Natural origin biodegradable systems in tissue engineering and regenerative medicine: present status and some moving trends. *J. R. Soc. Interface* **2007**, *4*, 999–1030.
19. Rinaudo, M. Chitin and chitosan: Properties and applications. *Prog. Polym. Sci.* **2006**, *31*, 603–632.
20. Bulawa, C.E. Genetics and Molecular Biology of Chitin Synthesis in Fungi. *Annu. Rev. Microb.* **1993**, *47*, 505–534.
21. Roncero, C. The genetic complexity of chitin synthesis in fungi. *Curr. Genet.* **2002**, *41*, 367–378.
22. Merzendorfer, H. Insect chitin synthases: a review. *J. Comp. Physiol. B* **2006**, *176*, 1–15.
23. Kato, N.; Mueller, C.R.; Fuchs, J.F.; Wessely, V.; Lan, Q.; Christensen, B.M. Regulatory mechanisms of chitin biosynthesis and roles of chitin in peritrophic matrix formation in the midgut of adult *Aedes aegypti*. *Insect. Biochem. Mol. Biol.* **2006**, *36*, 1–9.
24. Veronico, P.; Gray, L.J.; Jones, J.T.; Bazzicalupo, P.; Arbucci, S.; Cortese, M.R.; Di Vito, M.; De Giorgi, C. Nematode chitin synthases: gene structure, expression and function in *Caenorhabditis elegans* and the plant parasitic nematode *Meloidogyne artiellia*. *Mol. Genet. Genomics* **2001**, *266*, 28–34.
25. Cohen, E. Chitin synthesis and inhibition: a revisit. *Pest Manag. Sci.* **2001**, *57*, 946–950.
26. McMurrugh, I.; Flores-Carreón, A.; Bartnicki-Garcia, S. Pathway of chitin synthesis and cellular localization of chitin synthetase in *Mucor rouxii*. *J. Biol. Chem.* **1971**, *246*, 3999–4007.
27. Kawasaki, T.; Tanaka, M.; Fujie, M.; Usami, S.; Sakai, K.; Yamada, T. Chitin Synthesis in Chlorovirus CVK2-Infected *Chlorella* Cells. *Virology* **2002**, *302*, 123–131.
28. Lerouge, P.; Roche, P.; Faucher, C.; Maillet, F.; Truchet, G.; Prome, J.C.; Denarie, J. Symbiotic host-specificity of *Rhizobium meliloti* is determined by a sulphated and acylated glucosamine oligosaccharide signal. *Nature* **1990**, *344*, 781–784.
29. Semino, C.E.; Robbins, P.W. Synthesis of "Nod"-like chitin oligosaccharides by the *Xenopus* developmental protein DG42. *Proc. Natl. Acad. Sci. USA* **1995**, *92*, 3498–3501.
30. Semino, C.E.; Specht, C.A.; Raimondi, A.; Robbins, P.W. Homologs of the *Xenopus* developmental gene DG42 are present in zebrafish and mouse and are involved in the synthesis of Nod-like chitin oligosaccharides during early embryogenesis. *Proc. Natl. Acad. Sci. USA* **1996**, *93*, 4548–4553.
31. Hawtin, R.E.; Arnold, K.; Ayres, M.D.; Zanutto, P.M.; Howard, S.C.; Gooday, G.W.; Chappell, L.H.; Kitts, P.A.; King, L.A.; Possee, R.D. Identification and preliminary characterization of a chitinase gene in the *Autographa californica* nuclear polyhedrosis virus genome. *Virology* **1995**, *212*, 673–685.
32. Chigaleichik, A.G.; Pirieva, D.A.; Rydkin, S.S. Chitinase from *Serratia marcescens* BKM B-851. *Prikl. Biokhim. Mikrobiol.* **1976**, *12*, 581–586.

33. Kuranda, M.J.; Robbins, P.W. Chitinase is required for cell separation during growth of *Saccharomyces cerevisiae*. *J. Biol. Chem.* **1991**, *266*, 19758–19767.
34. Sakuda, S.; Isogai, A.; Matsumoto, S.; Suzuki, A. Search for microbial insect growth regulators. II. Allosamidin, a novel insect chitinase inhibitor. *J. Antibiot. (Tokyo)* **1987**, *40*, 296–300.
35. Kasprzewska, A. Plant chitinases--regulation and function. *Cell. Mol. Biol. Lett.* **2003**, *8*, 809–824.
36. Nakazaki, T.; Tsukiyama, T.; Okumoto, Y.; Kageyama, D.; Naito, K.; Inouye, K.; Tanisaka, T. Distribution, structure, organ-specific expression, and phylogenetic analysis of the pathogenesis-related protein-3 chitinase gene family in rice (*Oryza sativa* L.). *Genome* **2006**, *49*, 619–630.
37. Bussink, A.P.; Speijer, D.; Aerts, J.M.; Boot, R.G. Evolution of mammalian chitinase(-like) members of family 18 glycosyl hydrolases. *Genetics* **2007**, *177*, 959–970.
38. Cohen-Kupiec, R.; Chet, I. The molecular biology of chitin digestion. *Curr. Opin. Biotechnol.* **1998**, *9*, 270–277.
39. Coulson, A.F. A proposed structure for 'family 18' chitinases. A possible function for narbonin. *FEBS Lett.* **1994**, *354*, 41–44.
40. Itoh, Y.; Kawase, T.; Nikaidou, N.; Fukada, H.; Mitsutomi, M.; Watanabe, T.; Itoh, Y. Functional analysis of the chitin-binding domain of family 19 chitinase from streptomyces griseus HUT6037: substrate-binding affinity and cis-dominant increase of antifungal function. *Biosci. Biotechnol. Biochem.* **2002**, *66*, 1084–1092.
41. Funkhouser, J.D.; Aronson, N.N., Jr. Chitinase family GH18: evolutionary insights from the genomic history of a diverse protein family. *BMC Evol. Biol.* **2007**, *7*, 96.
42. Sendai, Y.; Abe, H.; Kikuchi, M.; Satoh, T.; Hoshi, H. Purification and molecular cloning of bovine oviduct-specific glycoprotein. *Biol. Reprod.* **1994**, *50*, 927–934.
43. Hu, B.; Trinh, K.; Figueira, W.F.; Price, P.A. Isolation and sequence of a novel human chondrocyte protein related to mammalian members of the chitinase protein family. *J. Biol. Chem.* **1996**, *271*, 19415–19420.
44. Hakala, B.E.; White, C.; Recklies, A.D. Human cartilage gp-39, a major secretory product of articular chondrocytes and synovial cells, is a mammalian member of a chitinase protein family. *J. Biol. Chem.* **1993**, *268*, 25803–25810.
45. Johansen, J.S.; Olee, T.; Price, P.A.; Hashimoto, S.; Ochs, R.L.; Lotz, M. Regulation of YKL-40 production by human articular chondrocytes. *Arthritis Rheum.* **2001**, *44*, 826–837.
46. Kirkpatrick, R.B.; Emery, J.G.; Connor, J.R.; Dodds, R.; Lysko, P.G.; Rosenberg, M. Induction and Expression of Human Cartilage Glycoprotein 39 in Rheumatoid Inflammatory and Peripheral Blood Monocyte-Derived Macrophages. *Exp. Cell Res.* **1997**, *237*, 46–54.
47. Chang, N.-C.A.; Hung, S.-I.; Hwa, K.-Y.; Kato, I.; Chen, J.-E.; Liu, C.-H.; Chang, A.C. A Macrophage Protein, Ym1, Transiently Expressed during Inflammation Is a Novel Mammalian Lectin. *J. Biol. Chem.* **2001**, *276*, 17497–17506.
48. Webb, D.C.; McKenzie, A.N.J.; Foster, P.S. Expression of the Ym2 Lectin-binding Protein Is Dependent on Interleukin (IL)-4 and IL-13 Signal Transduction. *J. Biol. Chem.* **2001**, *276*, 41969–41976.
49. Owhashi, M.; Arita, H.; Hayai, N. Identification of a Novel Eosinophil Chemotactic Cytokine (ECF-L) as a Chitinase Family Protein. *J. Biol. Chem.* **2000**, *275*, 1279–1286.

50. Lee, C.G.; Hartl, D.; Lee, G.R.; Koller, B.; Matsuura, H.; Da Silva, C.A.; Sohn, M.H.; Cohn, L.; Homer, R.J.; Kozhich, A.A.; Humbles, A.; Kearley, J.; Coyle, A.; Chupp, G.; Reed, J.; Flavell, R.A.; Elias, J.A. Role of breast regression protein 39 (BRP-39)/chitinase 3-like-1 in Th2 and IL-13-induced tissue responses and apoptosis. *J. Exp. Med.* **2009**, *206*, 1149–1166.
51. Shackelton, L.M.; Mann, D.M.; Millis, A.J.T. Identification of a 38-kDa Heparin-binding Glycoprotein (gp38k) in Differentiating Vascular Smooth Muscle Cells as a Member of a Group of Proteins Associated with Tissue Remodeling. *J. Biol. Chem.* **1995**, *270*, 13076–13083.
52. Verhage, H.G.; Mavrogianis, P.A.; O'Day-Bowman, M.B.; Schmidt, A.; Arias, E.B.; Donnelly, K.M.; Boomsma, R.A.; Thibodeaux, J.K.; Fazleabas, A.T.; Jaffe, R.C. Characteristics of an oviductal glycoprotein and its potential role in the fertilization process. *Biol. Reprod.* **1998**, *58*, 1098–1101.
53. Johansen, J.S. Studies on serum YKL-40 as a biomarker in diseases with inflammation, tissue remodelling, fibroses and cancer. *Dan. Med. Bull.* **2006**, *53*, 172–209.
54. Renkema, G.H.; Boot, R.G.; Muijsers, A.O.; Donker-Koopman, W.E.; Aerts, J.M.F.G. Purification and Characterization of Human Chitotriosidase, a Novel Member of the Chitinase Family of Proteins. *J. Biol. Chem.* **1995**, *270*, 2198–2202.
55. Boot, R.G.; Blommaart, E.F.C.; Swart, E.; Ghauharali-van der Vlugt, K.; Bijl, N.; Moe, C.; Place, A.; Aerts, J.M.F.G. Identification of a Novel Acidic Mammalian Chitinase Distinct from Chitotriosidase. *J. Biol. Chem.* **2001**, *276*, 6770–6778.
56. Boot, R.G.; Renkema, G.H.; Strijland, A.; van Zonneveld, A.J.; Aerts, J.M. Cloning of a cDNA encoding chitotriosidase, a human chitinase produced by macrophages. *J. Biol. Chem.* **1995**, *270*, 26252–26256.
57. Krykbaev, R.; Fitz, L.J.; Reddy, P.S.; Winkler, A.; Xuan, D.; Yang, X.; Fleming, M.; Wolf, S.F. Evolutionary and biochemical differences between human and monkey acidic mammalian chitinases. *Gene* **2010**, *452*, 63–71.
58. Kzhyshkowska, J.; Gratchev, A.; Goerdts, S. Human chitinases and chitinase-like proteins as indicators for inflammation and cancer. *Biomark Insights* **2007**, *2*, 128–146.
59. Kolstad, G.; Synstad, B.; Eijsink, V.G.; van Aalten, D.M. Structure of the D140N mutant of chitinase B from *Serratia marcescens* at 1.45 Å resolution. *Acta Crystallogr. D Biol. Crystallogr.* **2002**, *58*, 377–379.
60. Vaaje-Kolstad, G.; Houston, D.R.; Rao, F.V.; Peter, M.G.; Synstad, B.; van Aalten, D.M.; Eijsink, V.G. Structure of the D142N mutant of the family 18 chitinase ChiB from *Serratia marcescens* and its complex with allosamidin. *Biochim. Biophys. Acta* **2004**, *1696*, 103–111.
61. van Aalten, D.M.; Synstad, B.; Brurberg, M.B.; Hough, E.; Riise, B.W.; Eijsink, V.G.; Wierenga, R.K. Structure of a two-domain chitotriosidase from *Serratia marcescens* at 1.9-Å resolution. *Proc. Natl. Acad. Sci. USA* **2000**, *97*, 5842–5847.
62. Ferrandon, S.; Sterzenbach, T.; Mersha, F.B.; Xu, M.Q. A single surface tryptophan in the chitin-binding domain from *Bacillus circulans* chitinase A1 plays a pivotal role in binding chitin and can be modified to create an elutable affinity tag. *Biochim. Biophys. Acta* **2003**, *1621*, 31–40.
63. Hardt, M.; Laine, R.A. Mutation of active site residues in the chitin-binding domain ChBDChiA1 from chitinase A1 of *Bacillus circulans* alters substrate specificity: use of a green fluorescent protein binding assay. *Arch Biochem. Biophys.* **2004**, *426*, 286–297.

64. Jee, J.G.; Ikegami, T.; Hashimoto, M.; Kawabata, T.; Ikeguchi, M.; Watanabe, T.; Shirakawa, M. Solution structure of the fibronectin type III domain from *Bacillus circulans* WL-12 chitinase A1. *J. Biol. Chem.* **2002**, *277*, 1388–1397.
65. Watanabe, T.; Uchida, M.; Kobori, K.; Tanaka, H. Site-directed mutagenesis of the Asp-197 and Asp-202 residues in chitinase A1 of *Bacillus circulans* WL-12. *Biosci. Biotechnol. Biochem.* **1994**, *58*, 2283–2285.
66. Watanabe, T.; Ariga, Y.; Sato, U.; Toratani, T.; Hashimoto, M.; Nikaidou, N.; Kezuka, Y.; Nonaka, T.; Sugiyama, J. Aromatic residues within the substrate-binding cleft of *Bacillus circulans* chitinase A1 are essential for hydrolysis of crystalline chitin. *Biochem. J.* **2003**, *376*, 237–244.
67. Watanabe, T.; Kobori, K.; Miyashita, K.; Fujii, T.; Sakai, H.; Uchida, M.; Tanaka, H. Identification of glutamic acid 204 and aspartic acid 200 in chitinase A1 of *Bacillus circulans* WL-12 as essential residues for chitinase activity. *J. Biol. Chem.* **1993**, *268*, 18567–18572.
68. Songsiriritthigul, C.; Pantoom, S.; Aguda, A.H.; Robinson, R.C.; Suginta, W. Crystal structures of *Vibrio harveyi* chitinase A complexed with chitooligosaccharides: implications for the catalytic mechanism. *J. Struct. Biol.* **2008**, *162*, 491–499.
69. Suginta, W.; Songsiriritthigul, C.; Kobdaj, A.; Opassiri, R.; Svasti, J. Mutations of Trp275 and Trp397 altered the binding selectivity of *Vibrio carchariae* chitinase A. *Biochim. Biophys. Acta* **2007**, *1770*, 1151–1160.
70. Suginta, W.; Vongsuwan, A.; Songsiriritthigul, C.; Svasti, J.; Prinz, H. Enzymatic properties of wild-type and active site mutants of chitinase A from *Vibrio carchariae*, as revealed by HPLC-MS. *FEBS J.* **2005**, *272*, 3376–3386.
71. Karasuda, S.; Tanaka, S.; Kajihara, H.; Yamamoto, Y.; Koga, D. Plant chitinase as a possible biocontrol agent for use instead of chemical fungicides. *Biosci. Biotechnol. Biochem.* **2003**, *67*, 221–224.
72. Mostafa, S.A.; Mahmoud, M.S.; Mohamed, Z.K.; Enan, M.R. Cloning and molecular characterization of chitinase from *Bacillus licheniformis* MS-3. *J. Gen. Appl. Microbiol.* **2009**, *55*, 241–246.
73. Tsujibo, H.; Kubota, T.; Yamamoto, M.; Miyamoto, K.; Inamori, Y. Characterization of chitinase genes from an alkaliphilic actinomycete, *Nocardiopsis prasina* OPC-131. *Appl. Environ. Microbiol.* **2003**, *69*, 894–900.
74. Bhattacharya, D.; Nagpure, A.; Gupta, R.K. Bacterial chitinases: properties and potential. *Crit. Rev. Biotechnol.* **2007**, *27*, 21–28.
75. Dahiya, N.; Tewari, R.; Hoondal, G.S. Biotechnological aspects of chitinolytic enzymes: a review. *Appl. Microbiol. Biotechnol.* **2006**, *71*, 773–782.
76. Hayes, M.; Carney, B.; Slater, J.; Bruck, W. Mining marine shellfish wastes for bioactive molecules: chitin and chitosan--Part B: applications. *Biotechnol. J.* **2008**, *3*, 878–889.
77. Songsiriritthigul, C.; Pesatcha, P.; Eijsink, V.G.; Yamabhai, M. Directed evolution of a *Bacillus* chitinase. *Biotechnol. J.* **2009**, *4*, 501–509.
78. Howard, M.B.; Ekborg, N.A.; Weiner, R.M.; Hutcheson, S.W. Detection and characterization of chitinases and other chitin-modifying enzymes. *J. Ind. Microbiol. Biotechnol.* **2003**, *30*, 627–635.

79. Patil, R.S.; Ghormade, V.V.; Deshpande, M.V. Chitinolytic enzymes: an exploration. *Enzyme Microb. Technol.* **2000**, *26*, 473–483.
80. Songsiriritthigul, C.; Lapboonrueng, S.; Pechsrichuang, P.; Pesatcha, P.; Yamabhai, M. Expression and characterization of *Bacillus licheniformis* chitinase (ChiA), suitable for bioconversion of chitin waste. *Bioresour. Technol.* **2010**, *101*, 4096–4103.
81. Kawabata, S.; Nagayama, R.; Hirata, M.; Shigenaga, T.; Agarwala, K.L.; Saito, T.; Cho, J.; Nakajima, H.; Takagi, T.; Iwanaga, S. Tachycitin, a small granular component in horseshoe crab hemocytes, is an antimicrobial protein with chitin-binding activity. *J. Biochem.* **1996**, *120*, 1253–1260.
82. Van Dellen, K.L.; Chatterjee, A.; Ratner, D.M.; Magnelli, P.E.; Cipollo, J.F.; Steffen, M.; Robbins, P.W.; Samuelson, J. Unique posttranslational modifications of chitin-binding lectins of *Entamoeba invadens* cyst walls. *Eukaryot. Cell* **2006**, *5*, 836–848.
83. Broekaert, W.F.; Van Parijs, J.; Leyns, F.; Joos, H.; Peumans, W.J. A Chitin-Binding Lectin from Stinging Nettle Rhizomes with Antifungal Properties. *Science* **1989**, *245*, 1100–1102.
84. Willis, J.H. Structural cuticular proteins from arthropods: annotation, nomenclature, and sequence characteristics in the genomics era. *Insect. Biochem. Mol. Biol.* **2010**, *40*, 189–204.
85. Tang, L.; Liang, J.; Zhan, Z.; Xiang, Z.; He, N. Identification of the chitin-binding proteins from the larval proteins of silkworm, *Bombyx mori*. *Insect. Biochem. Mol. Biol.* **2010**, *40*, 228–234.
86. Jasrapuria, S.; Arakane, Y.; Osman, G.; Kramer, K.J.; Beeman, R.W.; Muthukrishnan, S. Genes encoding proteins with peritrophin A-type chitin-binding domains in *Tribolium castaneum* are grouped into three distinct families based on phylogeny, expression and function. *Insect. Biochem. Mol. Biol.* **2010**, *40*, 214–227.
87. Selitrennikoff, C.P. Antifungal Proteins. *Appl. Environ. Microbiol.* **2001**, *67*, 2883–2894.
88. Asensio, J.L.; Canada, F.J.; Siebert, H.C.; Laynez, J.; Poveda, A.; Nieto, P.M.; Soedjanaamadja, U.M.; Gabius, H.J.; Jimenez-Barbero, J. Structural basis for chitin recognition by defense proteins: GlcNAc residues are bound in a multivalent fashion by extended binding sites in hevein domains. *Chem. Biol.* **2000**, *7*, 529–543.
89. Bormann, C.; Baier, D.; Horr, I.; Raps, C.; Berger, J.; Jung, G.; Schwarz, H. Characterization of a novel, antifungal, chitin-binding protein from *Streptomyces tendae* Tu901 that interferes with growth polarity. *J. Bacteriol.* **1999**, *181*, 7421–7429.
90. Chae, K.S.; Lee, I.H.; Choi, C.S.; Kim, H.R. Purification and characterization of chitin-binding proteins from the hemolymph of sweet potato hornworm, *Agrius convolvuli*. *Comp. Biochem. Physiol. B Biochem. Mol. Biol.* **1999**, *124*, 475–481.
91. De Bolle, M.F.; David, K.M.; Rees, S.B.; Vanderleyden, J.; Cammue, B.P.; Broekaert, W.F. Cloning and characterization of a cDNA encoding an antimicrobial chitin-binding protein from amaranth, *Amaranthus caudatus*. *Plant Mol. Biol.* **1993**, *22*, 1187–1190.
92. Huang, X.; Xie, W.; Gong, Z. Characteristics and antifungal activity of a chitin binding protein from *Ginkgo biloba*. *FEBS Lett.* **2000**, *478*, 123–126.
93. Kolbe, S.; Fischer, S.; Becirevic, A.; Hinz, P.; Schrempf, H. The *Streptomyces reticuli* alpha-chitin-binding protein CHB2 and its gene. *Microbiology* **1998**, *144* (Pt 5), 1291–1297.
94. Hamodrakas, S.J.; Willis, J.H.; Iconomidou, V.A. A structural model of the chitin-binding domain of cuticle proteins. *Insect. Biochem. Mol. Biol.* **2002**, *32*, 1577–1583.

95. Willis, J.H. Cuticular Proteins in Insects and Crustaceans. *Am. Zool.* **1999**, *39*, 600–609.
96. Eijsink, V.G.; Vaaje-Kolstad, G.; Varum, K.M.; Horn, S.J. Towards new enzymes for biofuels: lessons from chitinase research. *Trends Biotechnol.* **2008**, *26*, 228–235.
97. Vaaje-Kolstad, G.; Horn, S.J.; van Aalten, D.M.; Synstad, B.; Eijsink, V.G. The non-catalytic chitin-binding protein CBP21 from *Serratia marcescens* is essential for chitin degradation. *J. Biol. Chem.* **2005**, *280*, 28492–28497.
98. Endo, T.; Koizumi, S. Large-scale production of oligosaccharides using engineered bacteria. *Curr. Opin. Struct. Biol.* **2000**, *10*, 536–541.
99. Cottaz, S.; Samain, E. Genetic engineering of *Escherichia coli* for the production of NI,NII-diacetylchitobiose (chitinbiose) and its utilization as a primer for the synthesis of complex carbohydrates. *Metab. Eng.* **2005**, *7*, 311–317.
100. Samain, E.; Drouillard, S.; Heyraud, A.; Driguez, H.; Geremia, R.A. Gram-scale synthesis of recombinant chitooligosaccharides in *Escherichia coli*. *Carbohydr. Res.* **1997**, *302*, 35–42.
101. Samain, E.; Chazalet, V.; Geremia, R.A. Production of *O*-acetylated and sulfated chitooligosaccharides by recombinant *Escherichia coli* strains harboring different combinations of nod genes. *J. Biotechnol.* **1999**, *72*, 33–47.
102. van der Holst, P.P.; Schlaman, H.R.; Spaink, H.P. Proteins involved in the production and perception of oligosaccharides in relation to plant and animal development. *Curr. Opin. Struct. Biol.* **2001**, *11*, 608–616.
103. Amatayakul-Chantler, S.; Ferguson, M.A.J.; Dwek, R.A.; Rademacher, T.W.; Parekh, R.B.; Crandall, I.E.; Newell, P.C. Cell surface oligosaccharides on *Dictyostelium* during development. *J. Cell Sci.* **1975**, *99*, 485–495.
104. Varki, A.; Marth, J. Oligosaccharides in vertebrate development. *Semin. Dev. Biol.* **1995**, *6*, 127–138.
105. Bakkers, J.; Semino, C.E.; Stroband, H.; Kijne, J.W.; Robbins, P.W.; Spaink, H.P. An important developmental role for oligosaccharides during early embryogenesis of cyprinid fish. *Proc. Natl. Acad. Sci. USA* **1997**, *94*, 7982–7986.
106. Iglesias, M.; Soler, R.M.; Ribera, J.; Esquerda, J.E.; Comella, J.X. The carbohydrate *N*-acetylglucosamine is involved in the guidance of neurites from chick ciliary ganglion neurons through the extracellular matrix of rat skeletal muscle fiber. *Neurosci. Lett.* **1996**, *207*, 81–84.
107. Wells, L.; Whelan, S.A.; Hart, G.W. *O*-GlcNAc: a regulatory post-translational modification. *Biochem. Biophys. Res. Commun.* **2003**, *302*, 435–441.
108. Hurtado-Guerrero, R.; Dorfmueller, H.C.; van Aalten, D.M. Molecular mechanisms of *O*-GlcNAcylation. *Curr. Opin. Struct. Biol.* **2008**, *18*, 551–557.
109. Hart, G.W. Dynamic *O*-linked glycosylation of nuclear and cytoskeletal proteins. *Annu. Rev. Biochem.* **1997**, *66*, 315–335.
110. Kang, E.-S.; Han, D.; Park, J.; Kwak, T.K.; Oh, M.-A.; Lee, S.-A.; Choi, S.; Park, Z.Y.; Kim, Y.; Lee, J.W. *O*-GlcNAc modulation at Akt1 Ser473 correlates with apoptosis of murine pancreatic [beta] cells. *Exp. Cell Res.* **2008**, *314*, 2238–2248.
111. Yanagisawa, M.; Yu, R.K. *O*-linked beta-*N*-acetylglucosaminylation in mouse embryonic neural precursor cells. *J. Neurosci. Res.* **2009**, *87*, 3535–3545.

112. Lazarus, B.D.; Love, D.C.; Hanover, J.A. *O*-GlcNAc cycling: Implications for neurodegenerative disorders. *Int. J. Biochem. Cell Biol.* **2009**, *41*, 2134–2146.
113. Zeidan, Q.; Hart, G.W. The intersections between *O*-GlcNAcylation and phosphorylation: implications for multiple signaling pathways. *J. Cell Sci.* **2010**, *123*, 13–22.
114. Zachara, N.E.; Hart, G.W. Cell signaling, the essential role of *O*-GlcNAc! *Biochim. Biophys. Acta* **2006**, *1761*, 599–617.
115. Tallent, M.K.; Varghis, N.; Skorobogatko, Y.; Hernandez-Cuebas, L.; Whelan, K.; Vocadlo, D.J.; Vosseller, K. *In Vivo* Modulation of *O*-GlcNAc Levels Regulates Hippocampal Synaptic Plasticity through Interplay with Phosphorylation. *J. Biol. Chem.* **2009**, *284*, 174–181.
116. Brimble, S.; Wollaston-Hayden, E.E.; Teo, C.F.; Morris, A.C.; Wells, L. The Role of the *O*-GlcNAc Modification in Regulating Eukaryotic Gene Expression. *Curr. Signal Transd. Ther.* **2010**, *5*, 12–24.
117. Comer, F.I.; Hart, G.W. *O*-GlcNAc and the control of gene expression. *Biochim. Biophys. Acta* **1999**, *1473*, 161–171.
118. Hart, G.W.; Housley, M.P.; Slawson, C. Cycling of *O*-linked [beta]-*N*-acetylglucosamine on nucleocytoplasmic proteins. *Nature* **2007**, *446*, 1017–1022.
119. Zachara, N.E.; Hart, G.W. *O*-GlcNAc modification: a nutritional sensor that modulates proteasome function. *Trends Cell Biol.* **2004**, *14*, 218–221.
120. Kang, J.G.; Park, S.Y.; Ji, S.; Jang, I.; Park, S.; Kim, H.S.; Kim, S.M.; Yook, J.I.; Park, Y.I.; Roth, J.; Cho, J.W. *O*-GlcNAc protein modification in cancer cells increases in response to glucose deprivation through glycogen degradation. *J. Biol. Chem.* **2009**, *284*, 34777–34784.
121. Whelan, S.A.; Dias, W.B.; Thiruneelakantapillai, L.; Lane, M.D.; Hart, G.W. Regulation of insulin receptor substrate 1 (IRS-1)/AKT kinase-mediated insulin signaling by *O*-Linked beta-*N*-acetylglucosamine in 3T3-L1 adipocytes. *J. Biol. Chem.* **2010**, *285*, 5204–5211.
122. Duverger, E.; Roche, A.-C.; Monsigny, M. *N*-Acetylglucosamine-dependent nuclear import of neoglycoproteins. *Glycobiology* **1996**, *6*, 381–386.
123. Guinez, C.; Morelle, W.; Michalski, J.-C.; Lefebvre, T. *O*-GlcNAc glycosylation: a signal for the nuclear transport of cytosolic proteins? *Int. J. Biochem. Cell Biol.* **2005**, *37*, 765–774.
124. Chatham, J.C.; Marchase, R.B. Protein *O*-GlcNAcylation: A Critical Regulator of the Cellular Response to Stress. *Curr. Signal Transduction Ther.* **2010**, *5*, 49–59.
125. Pappa, A.; Guerini, D. Immune Regulation by the Posttranslational Modification *O*-GlcNAc. *Curr. Signal Transduction Ther.* **2010**, *5*, 41–48.
126. Aam, B.B.; Heggset, E.B.; Norberg, A.L.; Sørli, M.; Vårum, K.M.; Eijsink, V.G.H. Production of Chitooligosaccharides and Their Potential Applications in Medicine. *Mar. Drugs* **2010**, *8*, 1482–1517.
127. Muzzarelli, R.A.A. Chitins and chitosans as immunoadjuvants and non-allergenic drug carriers. *Mar. Drugs* **2010**, *8*, 292–312.
128. Jeong, H.J.; Koo, H.N.; Oh, E.Y.; Chae, H.J.; Kim, H.R.; Suh, S.B.; Kim, C.H.; Cho, K.H.; Park, B.R.; Park, S.T.; Lee, Y.M.; Kim, H.M. Nitric oxide production by high molecular weight water-soluble chitosan via nuclear factor-kappaB activation. *Int. J. Immunopharmacol.* **2000**, *22*, 923–933.

129. Minami, S.; Suzuki, H.; Okamoto, Y.; Fujinaga, T.; Shigemasa, Y. Chitin and chitosan activate complement via the alternative pathway. *Carbohydr. Polym.* **1998**, *36*, 151–155.
130. Freier, T.; Montenegro, R.; Shan Koh, H.; Shoichet, M.S. Chitin-based tubes for tissue engineering in the nervous system. *Biomaterials* **2005**, *26*, 4624–4632.
131. Klokkevold, P.R.; Fukayama, H.; Sung, E.C.; Bertolami, C.N. The effect of chitosan (poly-*N*-acetyl glucosamine) on lingual hemostasis in heparinized rabbits. *J. Oral Maxillofac. Surg.* **1999**, *57*, 49–52.
132. Okamoto, Y.; Yano, R.; Miyatake, K.; Tomohiro, I.; Shigemasa, Y.; Minami, S. Effects of chitin and chitosan on blood coagulation. *Carbohydr. Polym.* **2003**, *53*, 337–342.
133. Shelma, R.; Paul, W.; Sharma, C.P. Chitin Nanofibre Reinforced Thin Chitosan Films for Wound Healing Application. *Trends Biomater. Artif. Organs* **2008**, *22*, 111–115.
134. Mi, F.-L.; Shyu, S.-S.; Wu, Y.-B.; Lee, S.-T.; Shyong, J.-Y.; Huang, R.-N. Fabrication and characterization of a sponge-like asymmetric chitosan membrane as a wound dressing. *Biomaterials* **2001**, *22*, 165–173.
135. Ong, S.-Y.; Wu, J.; Moochhala, S.M.; Tan, M.-H.; Lu, J. Development of a chitosan-based wound dressing with improved hemostatic and antimicrobial properties. *Biomaterials* **2008**, *29*, 4323–4332.
136. Dai, T.; Tegos, G.P.; Burkatovskaya, M.; Castano, A.P.; Hamblin, M.R. Chitosan acetate bandage as a topical antimicrobial dressing for infected burns. *Antimicrob. Agents Chemother.* **2009**, *53*, 393–400.
136. Brandl, F.; Sommer, F.; Goepferich, A. Rational design of hydrogels for tissue engineering: Impact of physical factors on cell behavior. *Biomaterials* **2007**, *28*, 134–146.
138. Tsiptsias, C.; Tsvintzelis, I.; Papadopoulou, L.; Panayiotou, C. A novel method for producing tissue engineering scaffolds from chitin, chitin-hydroxyapatite, and cellulose. *Mater. Sci. Eng. C* **2009**, *29*, 159–164.
139. Drury, J.L.; Mooney, D.J. Hydrogels for tissue engineering: scaffold design variables and applications. *Biomaterials* **2003**, *24*, 4337–4351.
140. Khor, E.; Lim, L.Y. Implantable applications of chitin and chitosan. *Biomaterials* **2003**, *24*, 2339–2349.
141. Gong, Y.; Gong, L.; Gu, X.; Ding, F. Chitooligosaccharides promote peripheral nerve regeneration in a rabbit common peroneal nerve crush injury model. *Microsurgery* **2009**, *29*, 650–656.
142. Razdan, A.; Pettersson, D. Effect of chitin and chitosan on nutrient digestibility and plasma lipid concentrations in broiler chickens. *Br. J. Nutr.* **1994**, *72*, 277–288.
143. Muzzarelli, R.A.A.; Muzzarelli, C. Chitosan, a dietary supplement and a food technology commodity. In *Functional Food Carbohydrates*; Biliaderis, C.G., Izydorczyk, M.S., Eds.; Francis and Taylor: Orlando, FL, USA, 2006; pp. 215–248.
144. Gallaher, C.M.; Munion, J.; Hesslink, R., Jr.; Wise, J.; Gallaher, D.D. Cholesterol Reduction by Glucomannan and Chitosan Is Mediated by Changes in Cholesterol Absorption and Bile Acid and Fat Excretion in Rats. *J. Nutr.* **2000**, *130*, 2753–2759.
145. Burton-Freeman, B. Dietary Fiber and Energy Regulation. *J. Nutr.* **2000**, *130*, 272–275.

146. Maezaki, Y.; Tsuji, K.; Nakagawa, Y.; Kawai, Y.; Akimoto, M.; Tsugita, T.; Takekawa, W.; Terada, A.; Hara, H.; Mitsuoka, T. Hypocholesterolemic Effect of Chitosan in Adult Males. *Biosci. Biotech. Biochem.* **1993**, *57*, 1439–1444.
147. Dev, A.; Mohan, J.C.; Sreeja, V.; Tamura, H.; Patzke, G.R.; Hussain, F.; Weyeneth, S.; Nair, S.V.; Jayakumar, R. Novel carboxymethyl chitin nanoparticles for cancer drug delivery applications. *Carbohydr. Polym.* **2010**, *79*, 1073–1079.
148. Kamiyama, K.; Onishi, H.; Machida, Y. Biodisposition characteristics of *N*-succinyl-chitosan and glycol- chitosan in normal and tumor-bearing mice. *Biol. Pharm. Bull.* **1999**, *22*, 179–186.
149. Ishihara, M.; Obara, K.; Nakamura, S.; Fujita, M.; Masuoka, K.; Kanatani, Y.; Takase, B.; Hattori, H.; Morimoto, Y.; Ishihara, M.; Maehara, T.; Kikuchi, M. Chitosan hydrogel as a drug delivery carrier to control angiogenesis. *J. Artif. Organs* **2006**, *9*, 8–16.
150. Zhao, Y.; Chen, G.; Sun, M.; Jin, Z.; Gao, C. Study on preparation of the pH sensitive hydroxyethyl chitin/poly (acrylic acid) hydrogel and its drug release property. *Sheng Wu Yi Xue Gong Cheng Xue Za Zhi* **2006**, *23*, 338–341.
151. Janes, K.A.; Calvo, P.; Alonso, M.J. Polysaccharide colloidal particles as delivery systems for macromolecules. *Adv. Drug Deliv. Rev.* **2001**, *47*, 83–97.
152. Haidar, Z.S.; Hamdy, R.C.; Tabrizian, M. Protein release kinetics for core-shell hybrid nanoparticles based on the layer-by-layer assembly of alginate and chitosan on liposomes. *Biomaterials* **2008**, *29*, 1207–1215.
153. Calvo, P.; Remuñán-López, C.; Vila-Jato, J.L.; Alonso, M.J. Novel hydrophilic chitosan-polyethylene oxide nanoparticles as protein carriers. *J. Appl. Polym. Sci.* **1997**, *63*, 125–132.
154. Bodmeier, R.; Chen, H.; Paeratakul, O. A Novel Approach to the Oral Delivery of Micro- or Nanoparticles. *Pharm. Res.* **1989**, *6*, 413–417.
155. Calabrese, V.; Lodi, R.; Tonon, C.; D'Agata, V.; Sapienza, M.; Scapagnini, G.; Mangiameli, A.; Pennisi, G.; Stella, A.M.G.; Butterfield, D.A. Oxidative stress, mitochondrial dysfunction and cellular stress response in Friedreich's ataxia. *J. Neurol. Sci.* **2005**, *233*, 145–162.
156. Ngo, D.-N.; Lee, S.-H.; Kim, M.-M.; Kim, S.-K. Production of chitin oligosaccharides with different molecular weights and their antioxidant effect in RAW 264.7 cells. *J. Funct. Foods* **2009**, *1*, 188–198.
157. Je, J.-Y.; Kim, S.-K. Antioxidant activity of novel chitin derivative. *Bioorg. Med. Chem. Lett.* **2006**, *16*, 1884–1887.
158. Park, P.-J.; Je, J.-Y.; Kim, S.-K. Free radical scavenging activities of differently deacetylated chitosans using an ESR spectrometer. *Carbohydr. Polym.* **2004**, *55*, 17–22.
159. Je, J.-Y.; Cho, Y.-S.; Kim, S.-K. Characterization of (Aminoethyl)chitin/DNA Nanoparticle for Gene Delivery. *Biomacromolecules* **2006**, *7*, 3448–3451.
160. Xie, W.; Xu, P.; Liu, Q. Antioxidant activity of water-soluble chitosan derivatives. *Bioorg. Med. Chem. Lett.* **2001**, *11*, 1699–1701.
161. Bautista-Baños, S.; Hernández-López, M.; Bosquez-Molina, E.; Wilson, C.L. Effects of chitosan and plant extracts on growth of *Colletotrichum gloeosporioides*, anthracnose levels and quality of papaya fruit. *Crop. Prot.* **2003**, *22*, 1087–1092.
162. Tsai, G.J.; Su, W.H. Antibacterial activity of shrimp chitosan against *Escherichia coli*. *J. Food Prot.* **1999**, *62*, 239–243.

163. San-Lang, W.; Shih, I.-L.; Wang, C.-H.; Tseng, K.-C.; Chang, W.-T.; Twu, Y.-K.; Ro, J.-J.; Wang, C.-L. Production of antifungal compounds from chitin by *Bacillus subtilis*. *Enzyme Microb. Technol.* **2002**, *31*, 321–328.
164. Li, B.; Wang, X.; Chen, R.; Huangfu, W.; Xie, G. Antibacterial activity of chitosan solution against *Xanthomonas* pathogenic bacteria isolated from *Euphorbia pulcherrima*. *Carbohydr. Polym.* **2008**, *72*, 287–292.
165. El Ghaouth, A.; Arul, J.; Asselin, A.; Benhamou, N. Antifungal activity of chitosan on post-harvest pathogens: induction of morphological and cytological alterations in *Rhizopus stolonifer*. *Mycol. Res.* **1992**, *96*, 769–779.
166. Young, D.H.; Kohle, H.; Kauss, H. Effect of Chitosan on Membrane Permeability of Suspension-Cultured *Glycine max* and *Phaseolus vulgaris* Cells. *Plant Physiol.* **1982**, *70*, 1449–1454.
167. De Smedt, S.C.; Demeester, J.; Hennink, W.E. Cationic Polymer Based Gene Delivery Systems. *Pharm. Res.* **2000**, *17*, 113–126.
168. Park, Y.K.; Park, Y.H.; Shin, B.A.; Choi, E.S.; Park, Y.R.; Akaike, T.; Cho, C.S. Galactosylated chitosan-graft-dextran as hepatocyte-targeting DNA carrier. *J. Controlled Release* **2000**, *69*, 97–108.
169. Leong, K.W.; Mao, H.Q.; Truong-Le, V.L.; Roy, K.; Walsh, S.M.; August, J.T. DNA-polycation nanospheres as non-viral gene delivery vehicles. *J. Controlled Release* **1998**, *53*, 183–193.
170. Erbacher, P.; Zou, S.; Bettinger, T.; Steffan, A.-M.; Remy, J.-S. Chitosan-Based Vector/DNA Complexes for Gene Delivery: Biophysical Characteristics and Transfection Ability. *Pharm. Res.* **1998**, *15*, 1332–1339.
171. Begin, A.; Van Calsteren, M.R. Antimicrobial films produced from chitosan. *Int. J. Biol. Macromol.* **1999**, *26*, 63–67.
172. Ouattara, B.; Simard, R.E.; Piette, G.; BÉgin, A.; Holley, R.A. Inhibition of surface spoilage bacteria in processed meats by application of antimicrobial films prepared with chitosan. *Int. J. Food Microbiol.* **2000**, *62*, 139–148.
173. Dutta, P.K.; Tripathi, S.; Mehrotra, G.K.; Dutta, J. Perspectives for chitosan based antimicrobial films in food applications. *Food Chem.* **2009**, *114*, 1173–1182.
174. Day, R.B.; Okada, M.; Ito, Y.; Tsukada, K.; Zaghoulani, H.; Shibuya, N.; Stacey, G. Binding site for chitin oligosaccharides in the soybean plasma membrane. *Plant Physiol.* **2001**, *126*, 1162–1173.
175. De Jong, A.J.; Heidstra, R.; Spink, H.P.; Hartog, M.V.; Meijer, E.A.; Hendriks, T.; Schiavo, F.L.; Terzi, M.; Bisseling, T.; Van Kammen, A.; De Vries, S.C. Rhizobium Lipooligosaccharides Rescue a Carrot Somatic Embryo Mutant. *Plant Cell* **1993**, *5*, 615–620.
176. Felix, G.; Baureithel, K.; Boller, T. Desensitization of the perception system for chitin fragments in tomato cells. *Plant Physiol.* **1998**, *117*, 643–650.
177. Minami, E.; Kouchi, H.; Carlson, R.W.; Cohn, J.R.; Kolli, V.K.; Day, R.B.; Ogawa, T.; Stacey, G. Cooperative action of lipo-chitin nodulation signals on the induction of the early nodulin, ENOD2, in soybean roots. *Mol. Plant Microbe Interact.* **1996**, *9*, 574–583.
178. Ito, Y.; Kaku, H.; Shibuya, N. Identification of a high-affinity binding protein for *N*-acetylchitooligosaccharide elicitor in the plasma membrane of suspension-cultured rice cells by affinity labeling. *Plant J.* **1997**, *12*, 347–356.

179. Okada, M.; Matsumura, M.; Shibuya, N. Identification of a high-affinity binding protein for *N*-acetylchitooligosaccharide elicitor in the plasma membrane from rice leaf and root cells. *J. Plant Physiol.* **2001**, *158*, 121–124.
180. Koev, S.T.; Powers, M.A.; Park, J.J.; Yi, H.; Wu, L.; Bentley, W.E.; Payne, G.F.; Rubloff, G.W.; Ghodssi, R. Chitosan as a functional interface between biology and microsystems. In *Bio Micro and Nanosystems Conference, 2006, BMN '06*, 15–18 January 2006; pp. 82–82.
181. Cheng, J.C.; Pisano, A.P. Photolithographic Process for Integration of the Biopolymer Chitosan into Micro/Nanostructures. *J. Microelectromech. Syst.* **2008**, *17*, 402–409.
182. Park, I.; Cheng, J.; Pisano, A.P.; Lee, E.-S.; Jeong, J.-H. Low temperature, low pressure nanoimprinting of chitosan as a biomaterial for bionanotechnology applications. *Appl. Phys. Lett.* **2007**, *90*, 093902–093903.
183. Wang, B.; Tian, C.; Wang, L.; Wang, R.; Fu, H. Chitosan: a green carbon source for the synthesis of graphitic nanocarbon, tungsten carbide and graphitic nanocarbon/tungsten carbide composites. *Nanotechnology* **2010**, *21*, 025606.
184. Gopalan, N.K.; Dufresne, A. Crab Shell Chitin Whisker Reinforced Natural Rubber Nanocomposites. **1.** Processing and Swelling Behavior. *Biomacromolecules* **2003**, *4*, 657–665.
185. Tanahashi, I.; Yoshida, A.; Nishino, A. Comparison of the Electrochemical Properties of Electric Double-Layer Capacitors with an Aqueous Electrolyte and with a Nonaqueous Electrolyte. *Bull. Chem. Soc. Jpn.* **1990**, *63*, 3611–3614.
186. Yamazaki, S.; Takegawa, A.; Kaneko, Y.; Kadokawa, J.-i.; Yamagata, M.; Ishikawa, M. An acidic cellulose-chitin hybrid gel as novel electrolyte for an electric double layer capacitor. *Electrochem. Commun.* **2009**, *11*, 68–70.
187. Sakaguchi, T.; Horikoshi, T.; Nakajima, A. Adsorption of Uranium by Chitin Phosphate and Chitosan Phosphate. *Agric. Biol. Chem.* **1981**, *45*, 2191–2195.
188. Franco, L.d.O.; Maia, R.d.C.C.; Porto, A.L.F.; Messias, A.S.; Fukushima, K.; Campos-Takaki, G.M.d. Heavy metal biosorption by chitin and chitosan isolated from *Cunninghamella elegans* (IFM 46109). *Braz. J. Microbiol.* **2004**, *35*, 243–247.
189. Jianlong, W.; Xinmin, Z.; Decai, D.; Ding, Z. Bioadsorption of lead(II) from aqueous solution by fungal biomass of *Aspergillus niger*. *J. Biotechnol.* **2001**, *87*, 273–277.
190. Hakim, L.; Sabarudin, A.; Oshita, K.; Oshima, M.; Motomizu, S. Synthesis of chitosan-based resins modified with tris(2-aminoethyl)amine moiety and its application to collection/concentration and determination of trace mercury by inductively coupled plasma atomic emission spectrometry. *Talanta* **2008**, *76*, 1256–1260.
191. Hakim, L.; Sabarudin, A.; Oshita, K.; Oshima, M.; Motomizu, S. Synthesis of cross-linked chitosan functionalized with threonine moiety and its application to on-line collection/concentration and determination of Mo, V and Cu. *Talanta* **2008**, *74*, 977–985.
192. Oshita, K.; Seo, K.; Sabarudin, A.; Oshima, M.; Takayanagi, T.; Motomizu, S. Synthesis of chitosan resin possessing a phenylarsonic acid moiety for collection/concentration of uranium and its determination by ICP-AES. *Anal. Bioanal. Chem.* **2008**, *390*, 1927–1932.
193. Hosoba, M.; Oshita, K.; Katarina, R.K.; Takayanagi, T.; Oshima, M.; Motomizu, S. Synthesis of novel chitosan resin possessing histidine moiety and its application to the determination of trace

- silver by ICP-AES coupled with triplet automated-pretreatment system. *Anal. Chim. Acta* **2009**, *639*, 51–56.
194. Hakim, L.; Sabarudin, A.; Oshima, M.; Motomizu, S. Synthesis of novel chitosan resin derivatized with serine diacetic acid moiety and its application to on-line collection/concentration of trace elements and their determination using inductively coupled plasma-atomic emission spectrometry. *Anal. Chim. Acta* **2007**, *588*, 73–81.
 195. Peiselt da Silva, K.M.; Pais da Silva, M.I. Copper sorption from diesel oil on chitin and chitosan polymers. *Colloids Surf. A* **2004**, *237*, 15–21.
 196. Aksu, Z.m. Application of biosorption for the removal of organic pollutants: a review. *Process Biochem.* **2005**, *40*, 997–1026.
 197. Wei, Z.G.; Sandström, R.; Miyazaki, S. Shape-memory materials and hybrid composites for smart systems: Part I Shape-memory materials. *J. Mater. Sci.* **1998**, *33*, 3743–3762.
 198. Zia, K.M.; Zuber, M.; Barikani, M.; Bhatti, I.A.; Khan, M.B. Surface characteristics of chitin-based shape memory polyurethane elastomers. *Colloids Surf. B Biointerfaces* **2009**, *72*, 248–252.
 199. Zhang, G.; Wang, H.; Shi, J.; Wang, X.; Zheng, H.; Wong, G.; Clark, T.; Wang, W.; Wang, J.; Kang, L. Identification and characterization of insect-specific proteins by genome data analysis. *BMC Genomics* **2007**, *8*, 93.
 200. Ieropoulos, I.; Melhuish, C.; Greenman, J.; Horsfield, I.; Hart, J. Energy autonomy in robots through Microbial Fuel Cells. In CiteSeerX - Scientific Literature Digital Library and Search Engine, The Pennsylvania State University, USA, 2004.
 201. Giribet, G.; Okusu, A.; Lindgren, A.R.; Huff, S.W.; Schrodler, M.; Nishiguchi, M.K. Evidence for a clade composed of molluscs with serially repeated structures: monoplacophorans are related to chitons. *Proc. Natl. Acad. Sci. USA* **2006**, *103*, 7723–7728.
 202. Evvyernie, D.; Yamazaki, S.; Morimoto, K.; Karita, S.; Kimura, T.; Sakka, K.; Ohmiya, K. Identification and characterization of *Clostridium paraputrificum* M-21, a chitinolytic, mesophilic and hydrogen-producing bacterium. *J. Biosci. Bioeng.* **2000**, *89*, 596–601.
 203. Morimoto, K.; Kimura, T.; Sakka, K.; Ohmiya, K. Overexpression of a hydrogenase gene in *Clostridium paraputrificum* to enhance hydrogen gas production. *FEMS Microbiol. Lett.* **2005**, *246*, 229–234.
 204. You, Y.; Park, W.H.; Ko, B.M.; Min, B.M. Effects of PVA sponge containing chitoooligosaccharide in the early stage of wound healing. *J. Mater. Sci. Mater. Med.* **2004**, *15*, 297–301.
 205. Choi, B.K.; Kim, K.Y.; Yoo, Y.J.; Oh, S.J.; Choi, J.H.; Kim, C.Y. *In vitro* antimicrobial activity of a chitoooligosaccharide mixture against *Actinobacillus actinomycetemcomitans* and *Streptococcus mutans*. *Int. J. Antimicrob. Agents* **2001**, *18*, 553–557.
 206. Kageyama, C.; Kato, K.; Iyozumi, H.; Inagaki, H.; Yamaguchi, A.; Furuse, K.; Baba, K. Photon emissions from rice cells elicited by *N*-acetylchitoooligosaccharide are generated through phospholipid signaling in close association with the production of reactive oxygen species. *Plant Physiol. Biochem.* **2006**, *44*, 901–909.
 207. Shen, K.T.; Chen, M.H.; Chan, H.Y.; Jeng, J.H.; Wang, Y.J. Inhibitory effects of chitoooligosaccharides on tumor growth and metastasis. *Food Chem. Toxicol.* **2009**, *47*, 1864–1871.

208. Tsukada, K.; Matsumoto, T.; Aizawa, K.; Tokoro, A.; Naruse, R.; Suzuki, S.; Suzuki, M. Antimetastatic and growth-inhibitory effects of *N*-acetylchitohexaose in mice bearing Lewis lung carcinoma. *Jpn. J. Cancer Res.* **1990**, *81*, 259–265.
209. Wang, S.L.; Lin, H.T.; Liang, T.W.; Chen, Y.J.; Yen, Y.H.; Guo, S.P. Reclamation of chitinous materials by bromelain for the preparation of antitumor and antifungal materials. *Bioresour. Technol.* **2008**, *99*, 4386–4393.
210. Mizuochi, T.; Nakata, M. HIV infection and oligosaccharides: a novel approach to preventing HIV infection and the onset of AIDS. *J. Infect. Chemother.* **1999**, *5*, 190–195.
211. Chipman, D.M.; Grisaro, V.; Sharon, N. The binding of oligosaccharides containing *N*-acetylglucosamine and *N*-acetylmuramic acid to lysozyme. The specificity of binding subsites. *J. Biol. Chem.* **1967**, *242*, 4388–4394.
212. Austin, P.R.; Brine, C.J.; Castle, J.E.; Zikakis, J.P. Chitin: New facets of research. *Science* **1981**, *212*, 749–753.
213. Hayes, M.; Carney, B.; Slater, J.; Bruck, W. Mining marine shellfish wastes for bioactive molecules: chitin and chitosan--Part A: extraction methods. *Biotechnol. J.* **2008**, *3*, 871–877.
214. Kurita, K. Chitin and chitosan: functional biopolymers from marine crustaceans. *Mar. Biotechnol. (NY)* **2006**, *8*, 203–226.
215. Synowiecki, J.; Al-Khateeb, N.A. Production, properties, and some new applications of chitin and its derivatives. *Crit. Rev. Food Sci. Nutr.* **2003**, *43*, 145–171.
216. Tharanathan, R.N.; Kittur, F.S. Chitin--the undisputed biomolecule of great potential. *Crit. Rev. Food Sci. Nutr.* **2003**, *43*, 61–87.

© 2010 by the authors; licensee MDPI, Basel, Switzerland. This article is an Open Access article distributed under the terms and conditions of the Creative Commons Attribution license (<http://creativecommons.org/licenses/by/3.0/>)

วิธีการดำเนินการทดลอง

วัสดุและอุปกรณ์

สายพันธุ์จุลินทรีย์และสภาวะในการเจริญ

เชื้อ *B. licheniformis* มาจาก DSMZ, German Culture collection of Microorganism and cell cultures (Braunschweig, Germany) มียีนที่สามารถผลิตเอนไซม์ไคตินเนส ส่วนเชื้อ *E. coli* สายพันธุ์ TOP10 (Invitrogen) เป็นจุลินทรีย์เจ้าบ้านในการโคลนและแสดงโปรตีน เลี้ยงเชื้อในอาหาร Luria-Bertani (LB) แล้วนำไปบ่มที่อุณหภูมิ 37°C

การเตรียม colloidal chitin

การเตรียม colloidal chitin คัดแปลงมาจากวิธีการของ Shimahara และ Takiguchi โดยใช้เกล็ดไคตินจากเปลือกปูผสมกับกรดไฮโดรคลอริกเข้มข้น ปริมาตร 200 mL และกวนอย่างแรงในขณะที่แช่อยู่ในน้ำแข็งเป็นเวลา 3-4 ชั่วโมง และบ่มไว้ในน้ำแข็งเป็นเวลา 1 คืน จากนั้น กรองด้วยผ้าขาวบางโดยให้ colloidal chitin หยดอย่างช้าๆ ลงใน 50% เอทานอลที่เย็นปริมาตร 600 mL ที่แช่อยู่ในน้ำแข็งและกวนอย่างรวดเร็ว จากนั้นเก็บ colloidal chitin ที่ละลายใน 50% เอทานอล ด้วยวิธีการปั่นเหวี่ยงหนีศูนย์กลาง ด้วยความเร็ว 8,000 x g, เป็นเวลา 30 นาที ที่อุณหภูมิ 4°C และล้างกรดด้วยน้ำสะอาด จน pH เป็นกลาง (pH 7.0) หรือ กรอง colloidal chitin ด้วยเครื่องกรองสุญญากาศผ่านกระดาษกรอง Whatman NO.1 และล้างด้วยน้ำ จนค่า pH เป็นกลาง จากนั้นเก็บไว้ที่อุณหภูมิ 4°C ในที่มีด

วิธีการโคลนเอนไซม์

ใช้วิธีการทาง PCR โดย นำโคลนเดี่ยวของเชื้อ *B. licheniformis* สายพันธุ์ DSM 8785 มาต้มในน้ำบริสุทธิ์ เพื่อให้เป็นแม่แบบสำหรับการเพิ่มจำนวนดีเอ็นเอ ด้วยเอนไซม์ Pfu DNA polymerase โดยใช้ไพรเมอร์ ChiHind3 (5'-CTG TGC AAG CTT TTG TCA TGT TGC TGA GCT TGT CAT TTG-3') และ Chi6HXho (5' GCA CAG CTC GAG TCA GTG GTG GTG GTG GTG TTC GCA GCC TCC GAT CAG CCG CC-3') ซึ่งไพรเมอร์ Chi6HXho มี hexahistidine เพื่อใช้ในการทำรีคอมบิแนนท์เอนไซม์ให้บริสุทธิ์ด้วยวิธี affinity chromatography จากนั้นทำการเพิ่มจำนวนยีนไคตินเนสด้วยวิธี PCR ขั้นตอนในการทำปฏิกิริยามี 3 ขั้นตอน โดยเริ่มต้นด้วย denaturation ที่ 95°C เป็นเวลา 2 นาที ตามด้วย amplification ที่ 95°C 45 วินาที, 56°C 55 วินาที และ 72°C 2 นาที จำนวน 30 รอบ และตามด้วย extension ที่ 72°C อีก 10 นาที จากนั้นโคลนยีนไคตินเนสเข้าไปใน pFLAG-CTS vector ที่ตำแหน่งตัดจำเพาะของเอนไซม์ HindIII และ XhoI ซึ่งการโคลนด้วยวิธีการนี้จะทำให้ตำแหน่งของ signal peptide ของ *B. licheniformis* ChiA ถูกแทนที่ด้วย OmpA signal peptide เพื่อช่วยให้ รีคอมบิแนนท์เอนไซม์หลังออกมา ดังที่อธิบายไว้แล้ว (Yamabhai et al., 2008) จากนั้นตรวจสอบความถูกต้องของ รีคอมบิแนนท์ ChiA ด้วยการหาลำดับเบสของดีเอ็นเอ (Macrogen, Korea)

การแสดงออกของโปรตีนและการทำเอนไซม์ให้บริสุทธิ์

วิธีการแสดงออกของเอนไซม์ไคตินเนส จาก *B. licheniformis* ChiA มีขั้นตอนคือ เริ่มต้นด้วยนำโคลนเดี่ยวของ *E. coli* สายพันธุ์ TOP10 ที่แสดงพลาสมิดของรีคอมบิแนนท์ ChiA มาเพาะเลี้ยงในอาหาร Luria bertani (LB) ที่มี 100 mg/mL ampicillin จากนั้นเติม 1 mM IPTG เพื่อเหนี่ยวนำให้เกิดการแสดงออกของโปรตีน แล้วนำไปบ่มที่อุณหภูมิ 25°C เป็นเวลา 18 ชั่วโมง จากนั้นเก็บตะกอนเซลล์โดยวิธีปั่นเหวี่ยงหนีศูนย์กลาง ด้วยความเร็ว 4500x g

เป็นเวลา 45 นาที จากนั้นล้างตะกอนเซลล์ด้วยไลซิสบัฟเฟอร์ปริมาตร 10 mL (20 mM Tris HCl buffer pH 8.0 ที่มี 150 mM NaCl, 1mM phenylmethylsulphonyl fluoride (PMSF) และ 1.0 mg/mL lysozyme ละลายอยู่) จากนั้นทำให้เซลล์แตกโดยใช้เครื่อง Ultrasonic processor และกำจัดตะกอนเซลล์โดยใช้เครื่องปั่นเหวี่ยงหนีศูนย์กลางด้วยความเร็ว 12,000 g เป็นเวลา 30 นาที และเก็บส่วนใสนำไปทำให้บริสุทธิ์ โดยใช้คอลัมน์ Ni-NTA agarose ปริมาตร 10 mL ซึ่งเป็นโครมาโตกราฟที่ใช้หลักการเคลื่อนที่ตามแรงโน้มถ่วงของโลก ที่อุณหภูมิ 4°C ตามวิธีของ Qiagen โดยล้างคอลัมน์จำนวน 2 ครั้ง ด้วย wash buffer (20 mM Tris-HCl buffer pH 8.0 และ 150 mM NaCl) 50 mL ซึ่งมี 0.5mM และ 20 mM imidazole ตามลำดับ Ni-NTA จะที่จับกับเอนไซม์ จะถูกชะด้วย 250 mM imidazole ในบัฟเฟอร์ชนิดเดียวกัน จากนั้นนำเอนไซม์ส่วนที่ชะออกมาไปทำให้เข้มข้นด้วยวิธีโคโตะไลซิสโดยใช้ Vivaspın-20 ultrafiltration membrane concentrators (Mr 10,000 cut-off, Vivascience AG, Hanover, Germany) เพื่อกำจัด imidazole หลังจากได้เอนไซม์ที่บริสุทธิ์แล้วจะทำการวัดปริมาณโปรตีนด้วยวิธีของ Bradford โดยสร้างกราฟมาตรฐานจาก BSA (0-10 µg) และเก็บรักษาเอนไซม์ใน 15% glycerol ที่อุณหภูมิ -20°C

การวิเคราะห์โปรตีนด้วย SDS-PAGE และไซโมแกรม

วิเคราะห์เอนไซม์บริสุทธิ์ด้วยวิธี SDS-PAGE โดยใช้เอนไซม์ 10 µl (3µg) ใน 12% SDS-PAGE ตามวิธีของ Laemmli (Laemmli, 1970) นำตัวอย่างโปรตีนผสมกับ gel loading buffer ที่ผสมกับ β-mercaptoethanol จากนั้นย้อมเจลด้วย Coomassie brilliant blue R-250 และใช้ molecular weight marker ของ Amersham Pharmacia Biotech (Amersham Biosciences, Piscataway, NJ, USA) ส่วนการวิเคราะห์โดยใช้ไซโมแกรมใช้วิธีดังที่อธิบายไว้แล้ว (17)

การวัดกิจกรรมของเอนไซม์โดยใช้ pNP-chitobiose (pNP-(GlcNAc)₂)

วัดกิจกรรมของเอนไซม์โคติเนสโดยบ่ม 0.5 mM pNP-chitobiose ที่ละลายใน 0.1 M phosphate buffer pH 6.0 ที่อุณหภูมิ 37°C (หรือ 50°C) เป็นเวลา 5 นาที ด้วยเครื่อง Thermomixer comfort (Eppendorf AG, Hamburg, Germany) จากนั้นเติมเอนไซม์ 1µg (0.015 nmol) แล้วนำไปบ่มที่อุณหภูมิ 37°C และเขย่าเป็นเวลา 30 นาที (หรือที่ 50°C เป็นเวลา 10 นาที) และสุดท้ายเติม 1M NaOH เพื่อหยุดปฏิกิริยา แล้ววัดความเข้มข้นของ p-nitrophenol ที่ปลดปล่อยจาก (pNP-(GlcNAc)₂) แล้ววัดค่าการดูดกลืนแสงที่ 405 nm และคำนวณความเข้มข้นจากกราฟมาตรฐานของ pNP ในช่วงความเข้มข้น 0-30 nmol โดยเอนไซม์ 1 unit เท่ากับปริมาณเอนไซม์ที่ปลดปล่อย 1 pNP µmol ต่อนาที

การทดสอบผลของค่า pH และ อุณหภูมิที่มีกิจกรรมเอนไซม์

การทดสอบค่า pH ที่เหมาะสมต่อการทำงานของเอนไซม์โคติเนส ทำได้โดยวัดกิจกรรมเอนไซม์ในช่วง pH ระหว่าง 2-12.0 ที่อุณหภูมิ 37°C ซึ่งบัฟเฟอร์แต่ละช่วง pH ประกอบด้วย phosphoric-phosphate (pH2.0-3.0), glycine-HCl (pH2.0-4.0), acetate (pH 4.0-6.0), potassium phosphate (pH 6.0-8.0), Tris-HCl (pH 7.0-9.0) และ Glycine-NaOH (pH 9.0-12.0) ส่วนการวัดเสถียรภาพของกิจกรรมเอนไซม์ในช่วง pH ต่างๆ ทดสอบที่อุณหภูมิ 20°C เป็นเวลา 30 นาที หรือ 18 ชั่วโมง และหลังจากนั้นวัดกิจกรรมเอนไซม์ที่ยังคงอยู่ที่อุณหภูมิ 37°C ตามสถานะที่ใช้ในการทดลอง

การทดสอบอุณหภูมิที่เหมาะสมต่อการทำงานของเอนไซม์ไคตินเนส

ทดสอบโดยบ่มเอนไซม์กับสับสเตรทใน 100 mM phosphate buffer pH 6.0 ที่ช่วงอุณหภูมิ 0-100 °C เป็นเวลา 30 นาที ส่วนการทดสอบความคงตัวของเอนไซม์ที่ช่วงอุณหภูมิต่างๆ ทดสอบโดยบ่มเอนไซม์ใน 100 mM phosphate buffer pH 6.0 ในช่วงอุณหภูมิ 0-100 °C เป็นเวลา 30 นาที แล้ววัดกิจกรรมเอนไซม์ที่ยังคงอยู่โดยคำนวณจากกราฟมาตรฐาน

นอกจากนั้นยังทดสอบกิจกรรมเอนไซม์ที่ยังคงอยู่ หลังจากบ่มเอนไซม์ใน 100 mM phosphate buffer pH 6.0 อุณหภูมิ 50 °C โดยที่ไม่เติมสับสเตรทที่ช่วงเวลาต่างๆ ดังนี้ 0 นาที, 30 นาที, 3 ชั่วโมง, 1 วัน, 2 วัน, 4 วัน และ 5 วัน

การวัดกิจกรรมเอนไซม์โดยใช้ colloidal chitin

การวัดกิจกรรมเอนไซม์ไคตินเนสโดยใช้ colloidal chitin เป็นสับสเตรท ในปฏิกิริยาประกอบด้วย 10 mg/mL colloidal chitin 300 µl ละลายใน 0.1 M phosphate buffer pH 6.0 75 µl แล้วบ่มเป็นเวลา 30 นาที (ที่อุณหภูมิ 37°C หรือ 50°C) จากนั้นเติมเอนไซม์ 0.1 mg/mL 25 µl แล้วบ่มต่อที่อุณหภูมิ 37°C หรือ 50°C เป็นเวลา 30 นาที และ 10 นาที ตามลำดับ และหยุดปฏิกิริยาด้วยการต้มที่อุณหภูมิ 100 °C เป็นเวลา 10 นาที จากนั้นกำจัดตะกอนไคตินที่ยังเหลืออยู่ด้วยการ โดยใช้เครื่องปั่นเหวี่ยงหนีศูนย์กลาง ความเร็ว 12,000 g เป็นเวลา 5 นาที แล้วเก็บสารละลายส่วนใสไปวิเคราะห์ปริมาณน้ำตาลรีดิวซ์ โดยใช้สารละลายส่วนใส 100 µl ผสมกับ 3,5-dinitrosalicylic acid (DNS) แล้วต้มที่อุณหภูมิ 100 °C เป็นเวลา 20 นาที จากนั้นทำให้เย็นโดยแช่ในน้ำแข็ง แล้ววัดค่าการดูดกลืนแสงที่ 540 nm โดยใช้กราฟมาตรฐานที่มีการแปรผันความเข้มข้นของ N-acetylglucosamine (NAG หรือ G1) หรือ (di-N-acetyl chitobiose หรือ G2)

การตรวจสอบความสามารถในการยับยั้งเชื้อแบคทีเรีย

ทำการ inoculate เชื้อราลงตรงกลางจานเลี้ยงเชื้อ (NY media) พร้อมกับ inoculate เชื้อแบคทีเรียลงบนจานเลี้ยงเชื้อ ๒ ฝั่งของจานเลี้ยงเชื้อ นำจานเลี้ยงเชื้อไปบ่มไว้ที่อุณหภูมิ 30 องศาเซลเซียส อีกเป็นเวลา 3 วัน จึงนำมาตรวจสอบความสามารถในการยับยั้งการโต

การจำแนกชนิดของเชื้อแบคทีเรียที่มีฤทธิ์ยับยั้งการเจริญเติบโตของเชื้อรา

การจำแนกด้วยวิธีทางโมเลกุล

ทำการเพิ่มจำนวนยีนสำหรับ 16sRNA ด้วย primer fD1 (5' -AGAGTTTGA TCCTGGCTCAG-3') และ rP2 (5'-AAGGAGGTGATCCAGCC-3') ด้วยวิธีการ PCR โดยใช้ Taq DNA polymerase จากนั้นนำชิ้น DNA ที่ได้ไปโคลนเข้า pGEM-T easy vector แล้วส่ง 3 clone ไปวิเคราะห์ลำดับเส้น DNA โดยใช้ Automated DNA sequencing ที่บริษัท Macrogen ประเทศ เกาหลีใต้

การจำแนกด้วยวิธีการทางชีวเคมี

ขั้นตอนนี้ทำได้โดยการส่งเชื้อไปวิเคราะห์ที่ สถาบันวิจัยวิทยาศาสตร์และเทคโนโลยีแห่งประเทศไทย (วว)

ผลการทดลอง

๑. การโคลน การผลิต และการวิเคราะห์โครงสร้างเอนไซม์ไคตินเนส (ChiA) จากเชื้อ *Bacillus licheniformis*

ยีน chiA จาก *B.licheniformis* สายพันธุ์ DSM8785 ถูกโคลนโดยใช้ข้อมูลจากลำดับจีโนมของ *B.licheniformis* สายพันธุ์ DSM13 (GenBank ลำดับพันธุกรรมหมายเลข [AAU21943](#)) (18) สองยีนนี้มีความคล้ายคลึงกันเป็นอย่างมาก (ความเหมือนกันร้อยละ 99) มีคู่เบสที่แตกต่างกันเพียงห้าคู่ และมีความแตกต่างกันที่กรดอะมิโนเพียงสามตัว คุณสมบัติของโปรตีนไคตินเนสทั้งสองตัวโดยทั่วไปมีความคล้ายคลึงกัน อย่างไรก็ตามกิจกรรมการทำงานของเอนไซม์ที่มีความจำเพาะและระดับการแสดงออกของ ChiA จากสายพันธุ์ DSM8785 มีระดับที่ดีกว่าเล็กน้อย (19) ลำดับ DNA ของยีนของโปรตีนไคตินเนส (chiA) จาก *B.licheniformis* DSM8785 ถูกนำไปเก็บไว้ที่ฐานข้อมูลของ GenBank (ลำดับพันธุกรรมหมายเลข [FJ465148](#))

ผลการศึกษาคุณสมบัติ โปรตีนไคตินเนส (ChiA) จาก *B.licheniformis* พบว่าอยู่ใน glycosyl hydrolase หมวดหมู่ที่ 18 ตามวิธีการจัดระบบของ CAZy (Carbohydrate-Active EnZymes) (20) หมวดหมู่นี้ประกอบด้วยเอนไซม์ที่มี Glyco_hydro_tim หรือ TIM barrel glycosyl hydrolase เป็น องค์ประกอบ อาทิเช่น alpha amylase, mannanase และ cellulose โครงสร้างของเอนไซม์ที่ประกอบด้วยส่วน N-terminal ที่ใช้เป็นตัวเร่งปฏิกิริยา ส่วน fibronectin type III (FnIII)-like domain และ ส่วน C-terminal chitin binding domain (ChBD)

จากการเปรียบเทียบของลำดับกรดอะมิโนของ *B. licheniformis* ChiA กับโปรตีนไคตินเนสอื่นๆ พบว่า N-terminal catalytic domain ของ *B. licheniformis* ChiA (pFchi8785) มีความเหมือนกับเอนไซม์อื่นๆ ในกลุ่มนี้ catalytic domain (CatD) ของโปรตีนไคตินเนส 1 (ChiA1) จาก *Bacillus circulans* WL-12 (ร้อยละ 48.80); (ChiB1) จาก *Aspergillus fumigates* (ร้อยละ 24.79); โปรตีนไคตินเนสจาก *Coccidioides immitis* ซึ่งเป็นเห็ดราที่ทำให้เกิดโรค (ร้อยละ 23.42); โปรตีนไคตินเนสบี (ChiB) จาก *Serratia marcescens* (ร้อยละ 22.42) ; human chitotriosidase (ร้อยละ 21.05%); โปรตีนไคตินเนสเอ (ChiA) จาก *Vibrio harveyi* (ร้อยละ 22.28), โปรตีนไคตินเนสเอ (ChiA) จาก *Serratia marcescens* (ร้อยละ 19.80) และ acidic mammalian chitinase (ร้อยละ 18.74) ดังแสดงในรูปที่ ๑ ด้านล่าง ส่วนโครงสร้างของเอนไซม์แบบ ๓ มิติ แสดงดังรูปที่ ๒

ส่วนผลการทดลองที่เกี่ยวกับรายละเอียดเกี่ยวกับการผลิตเอนไซม์ และกิจกรรมเอนไซม์ของโคลนที่ได้ ใ้รายงานไว้แล้วในรูปแบบ การตีพิมพ์ในวารสารวิชาการนานาชาติ ดังนี้

Songsiriritthigul, C., Lapboonrueng, S., Pechsrichuang, P., Pesatcha, P., Yamabhai, M., 2010.

Expression and characterization of *Bacillus licheniformis* chitinase (ChiA), suitable for bioconversion of chitin waste. *Bioresour Technol*, 101, 4096-103.

```

11TX
pFch18785 22
199P
1D2X
1D13
1GVV
3B8E 22
1CTN 24
31XY

```

```

11TX
pFch18785 33
199P 37
1D2X 39
1D13 41
1GVV 42
3B8E 44
1CTN 44
31XY 21

```

```

11TX
pFch18785 139
199P 137
1D2X 164
1D13 70
1GVV 74
3B8E 249
1CTN 249
31XY 26

```

```

11TX
pFch18785 246
199P 242
1D2X 296
1D13 179
1GVV 178
3B8E 388
1CTN 357
31XY 175

```

```

11TX
pFch18785 345
199P 344
1D2X 356
1D13 295
1GVV 294
3B8E 469
1CTN 451
31XY 274

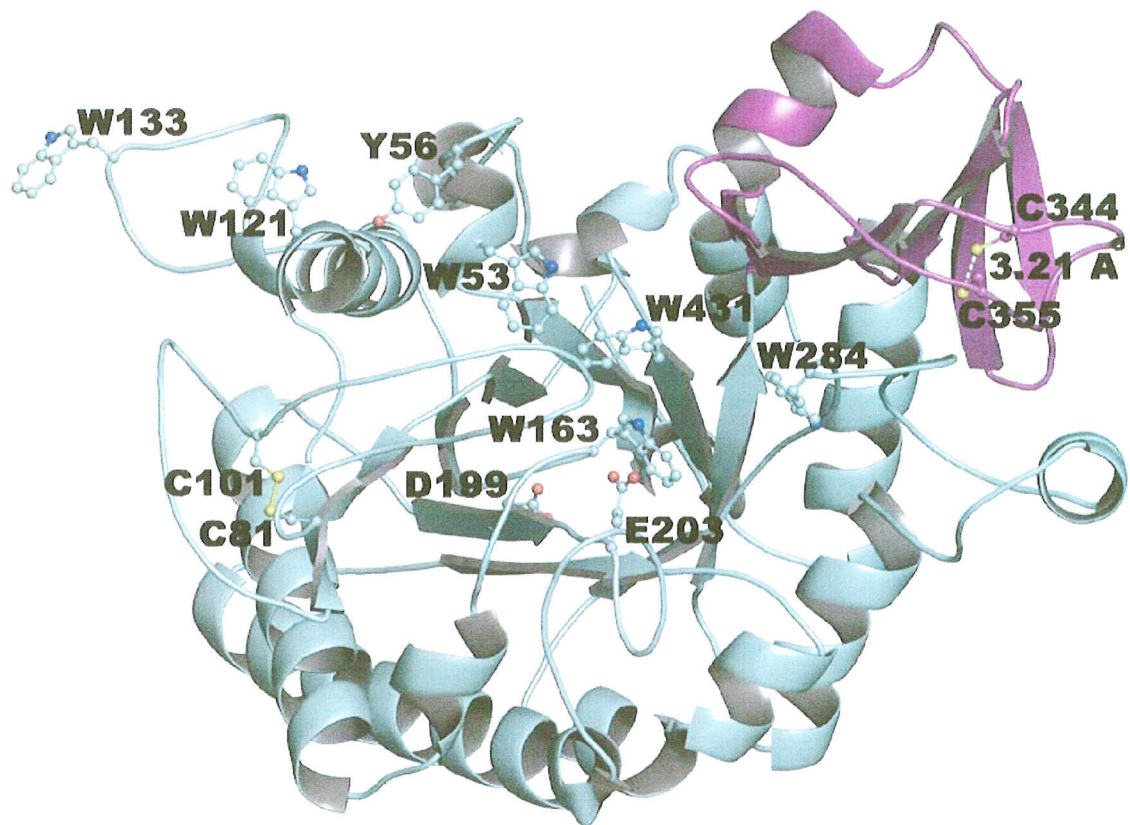
```

```

11TX
pFch18785 440
199P 438
1D2X 453
1D13 411
1GVV 319
3B8E 378
1CTN 545
31XY 311

```

รูปที่ ๑ รูปแสดงลำดับกรดอะมิโนของเอนไซม์ chitinase จากเชื้อแบคทีเรียชนิดต่างๆ



รูปที่ ๒ รูปแสดงโครงสร้าง ๓ มิติของเอนไซม์ chitinase จากเชื้อ *Bacillus licheniformis* ในโครงการวิจัยนี้

๒. การผลิต การทำให้บริสุทธิ์ และการวิเคราะห์คุณสมบัติ เอนไซม์ไคตินเนส (ChiA) จากเชื้อ *Bacillus licheniformis*

ยีนของเอนไซม์ chitinase จากเชื้อ *Bacillus licheniformis* ในโครงการวิจัยนี้ ถูกโคลนอยู่ใน vector pMY202 ในลักษณะ ที่มี *E. coli* *OmpA* เป็นตัวชักนำให้หลั่งออกนอกเซลล์ โดยให้เชื่อมอยู่กับส่วนปลาย N-terminal ของเอนไซม์ ส่วนทางด้าน C-terminal เชื่อมอยู่กับ hexahistidine เพื่อให้ทำบริสุทธิ์ได้ง่ายดังรูปที่ ๓

MKKTAIAIA**VALAGFATVAQA**FVMLLSLSFVN**GEVAKADSGK**NYKIIGYYPSWGAYGR
 DFQVWMDVSKVSHINYAFADICWEGRHGNDPTGPNPQTWSCQDENGVIDAPNGTIV
 MGD**PWIDAQKANPGDVWDEPIRGNFKQLLKLKKSHPHLKTFISVGGWTWSNRFSDVAA**
 DPAARENFAASAVEFLRKYGFDFGVDLDWEYVPSGGLPGNSTRPEDKRNYTLLLLQEV**RK**
 KLDAAEAKD**GKEYLLTIASGASPDYVSNT**ELDKIAQTV**DWINIMTYDFNGGWQ**SISAH
 NAPLFYDPKAKEAGVPNAETYNIENTVKRYKEAGVKGD**KLVLGTPFYGRGWSGCE**PGG
 HGEYQKCGPAKEGTWEKGVFDFSDLERNYVNQNGYKRYW**NDQAKVPFLYNAENGNFIT**
 YDDEQ**SFGHK**TDFIKANGLSGAMFWDFSGDSN**RLLNKLAADLDFAPDGGNPEPPSSA**
 PVNVRVTGKTATSVSLAWDAPSSGANIAEYVVSFENRSISVKETS**AEIGGLKPGTAYS**
 FT**VS**AKDADGKLHAGPTVEVTTNSDQ**ACSYDEWKETSAYTGGERVAFNGKVYEAK**WWT
 KGDRPDQ**PGEWGVWRLIGGCE**HHHHHH

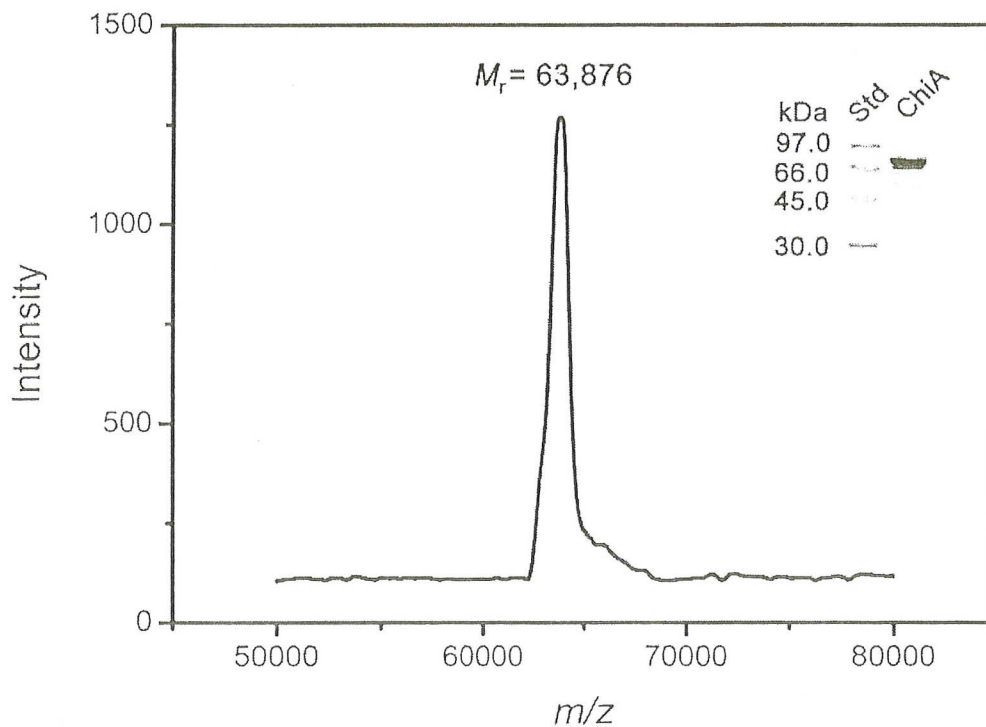


■ *E. coli* ompA signal peptide ■ Chitin binding domain ■ Hexa-histidine tag
■ Catalytic domain ■ Fibronectin type III (FNIII) domain

รูปที่ ๓ ผังแสดงโครงสร้างของ recombinant chitinase จากเชื้อ *Bacillus licheniformis* DSM 8785 ในการวิจัยนี้

การผลิตและทำให้บริสุทธิ์

จากการศึกษาพบว่าสามารถหาสถานะที่เหมาะสมในการผลิต ทำให้บริสุทธิ์ได้ดี โดยสามารถผลิตเอนไซม์ได้โดยเฉลี่ยประมาณ 20 mg จากอาหารเลี้ยงเชื้อประมาณ ๑ ลิตร ซึ่งถือว่าค่อนข้างสูงเมื่อเทียบกับการผลิตในระบบอื่นที่เคยมีรายงานมา (2) นอกจากนั้นแล้ว ยังสามารถทำให้เอนไซม์มีความบริสุทธิ์สูง โดยดูจากผล SDS-PAGE และ การวิเคราะห์ด้วย HPLC ดังรูปที่ ๔



รูปที่ ๔ รูปแสดงเอนไซม์ จากเชื้อ *Bacillus licheniformis* DSM 8785 ในการวิจัยนี้ ที่ได้ทำให้บริสุทธิ์แล้วจากการวิเคราะห์ด้วย SDS-PAGE และ HPLC

ผลจากการวิเคราะห์ขนาดของเอนไซม์บริสุทธิ์ ด้วยวิธี SDS-PAGE และ HPLC พบว่าเอนไซม์มีขนาด 66 และ 63.876 กิโลดาลตัน ตามลำดับ ซึ่งค่านี้ใกล้เคียงกับค่าทางทฤษฎีของเอนไซม์ในธรรมชาติ (wild type) ที่มีขนาด 66.801 กิโลดาลตัน ซึ่งคำนวณโดยใช้โปรแกรม Scansite

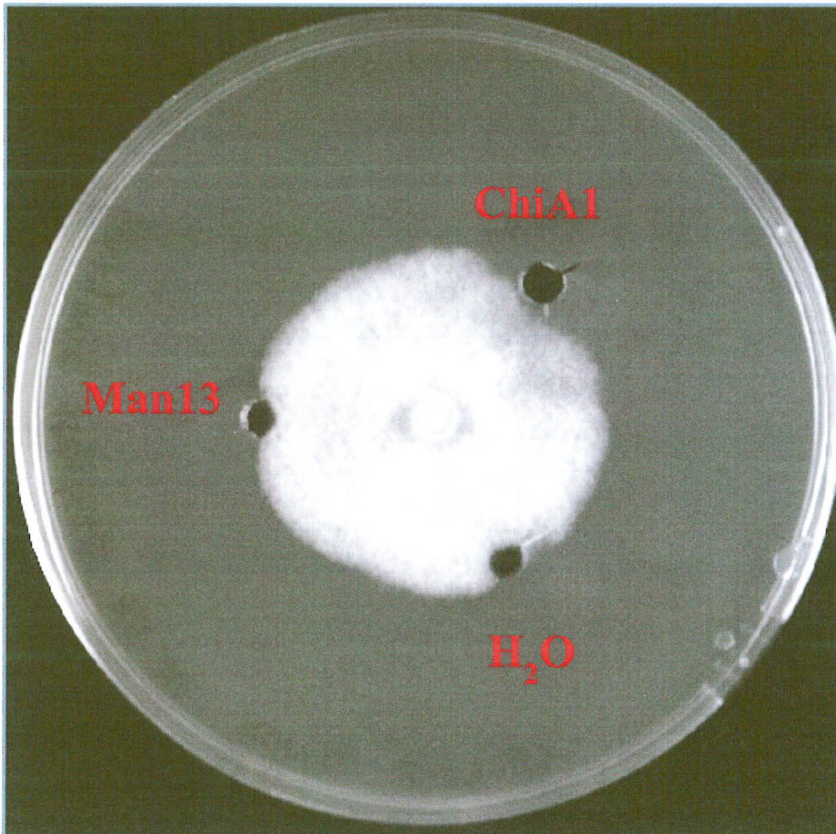
ส่วนผลการทดลองที่เกี่ยวกับรายละเอียดเกี่ยวกับคุณสมบัติทางชีวเคมีของเอนไซม์บริสุทธิ์นั้น ได้รายงานไว้แล้วในรูปแบบ การตีพิมพ์ในวารสารวิชาการนานาชาติ ดังนี้

Songsiriritthigul, C., Lapboonrueng, S., Pechsrichuang, P., Pesatcha, P., Yamabhai, M., 2010.

Expression and characterization of *Bacillus licheniformis* chitinase (ChiA), suitable for bioconversion of chitin waste. *Bioresour Technol*, 101, 4096-103.

๒. การศึกษาความสามารถในการยับยั้งเชื้อรา

ถึงแม้จะเคยมีรายงานการตีพิมพ์ความสามารถในการยับยั้งเชื้อราโดยเอนไซม์จากเชื้อ *Bacillus lichemiformis* มาก่อนหน้านี้ แต่เป็นที่น่าผิดหวังว่าจากการทดลองทดสอบความสามารถในการยับยั้งเชื้อราเอนไซม์ ChiA1 จากเชื้อ *B. lichemiformis* DSM8785 จากการทดลองนี้ มีความสามารถในการยับยั้งเชื้อราได้เพียงเล็กน้อยเท่านั้น ดังแสดงในรูปที่ ๕ ด้านล่าง



รูปที่ ๕ ผลแสดงความสามารถในการยับยั้งเชื้อรา *Didymella bryoniae*

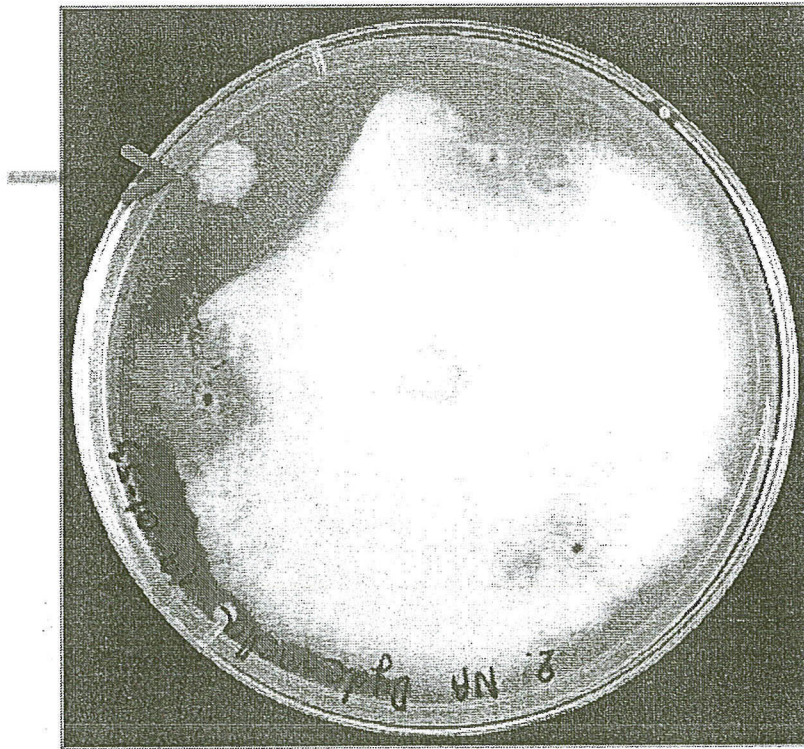
จากรูปแสดงตัวอย่างความสามารถในการยับยั้งเชื้อ *Didymella bryoniae* จากรูปจะเห็นได้ว่าเอนไซม์ ChiA1 สามารถยับยั้งการโตของเชื้อราได้เพียงเล็กน้อยเท่านั้น เมื่อเทียบกับ น้ำบริสุทธิ์ หรือ เอนไซม์ Mannanase (Man13)

๓. การค้นพบและการจำแนกชนิดของเชื้อแบคทีเรีย ที่มีความสามารถในการยับยั้งเชื้อราก่อโรคในพืช โดยบังเอิญ

ในระหว่างที่ผู้ช่วยวิจัยกำลังทำการตรวจสอบความสามารถในการยับยั้งการโตของเชื้อราที่ก่อโรคในพืชของเอนไซม์ ChiA อยู่ นั้น นักวิจัยบังเอิญตรวจพบเชื้อแบคทีเรียที่ปนเปื้อนอยู่บนจานเลี้ยงเชื้อ ซึ่งมีฤทธิ์ในการต่อต้านการเจริญเติบโตของเชื้อราได้ดีมาก ดังแสดงในรูปที่ ๖ (สรชี) ผู้วิจัยจึงตัดสินใจนำเชื้อรานี้มาทำการคัดแยกต่อจนเป็นโคลนเดี่ยว แล้วนำไป วิเคราะห์เอกลักษณ์ด้วย วิธีการทางชีวเคมี และวิธีการทางอณูคือการตรวจสอบลำดับเบสของยีน 16s rRNA โดยผลการตรวจสอบโดย DNA แสดงสรุปดังรูปที่ ๗ ซึ่งเป็นภาพแสดงผลการวิเคราะห์ ลำดับ

เบสของ ยีน 16s rRNA รูปด้านซ้ายคือ DNA จากการทำ PCR มีขนาดประมาณ 1,500 bp ซึ่งได้ถูกนำมาโคลนเข้า pGEM-T Easy vector ก่อนจะนำไปวิเคราะห์ลำดับเส้น DNA ภาพด้านขวาคือ ผลการตรวจสอบว่าชิ้น DNA ได้ถูกโคลนเข้าไปเรียบร้อยแล้ว โดยดูจากการย่อยด้วยเอนไซม์ EcoRI โดยได้ทำการวิเคราะห์ DNA ทั้งจาก ๓ plasmid ซึ่งได้ผลเหมือนกันทั้งหมด

ผลการวิเคราะห์แสดงว่าเชื้อแบคทีเรียอยู่ในกลุ่ม *Bacillus subtilis* ซึ่งผลการตรวจสอบนี้ตรงกับผลที่ได้จากการวิเคราะห์ทางชีวเคมี (แสดงในภาคผนวก) ซึ่งแสดงว่าเป็นเชื้อในกลุ่ม *Bacillus subtilis/amyloliquefaciens* ดังนั้นผู้วิจัยจึงสรุปว่า เชื้อตัวใหม่ที่คัดหามาได้ด้วยความบังเอิญนี้คือ *Bacillus subtilis* และได้ตั้งชื่อ strain ว่า MY-1 ซึ่งเป็นแบคทีเรียในกลุ่มที่ผู้วิจัยต้องการจะคัดหาอยู่แล้ว



รูปที่ ๖ ภาพแสดงเชื้อแบคทีเรียที่สามารถยับยั้งเชื้อรา ซึ่งถูกค้นพบโดยบังเอิญ (ศรีชัย)

